

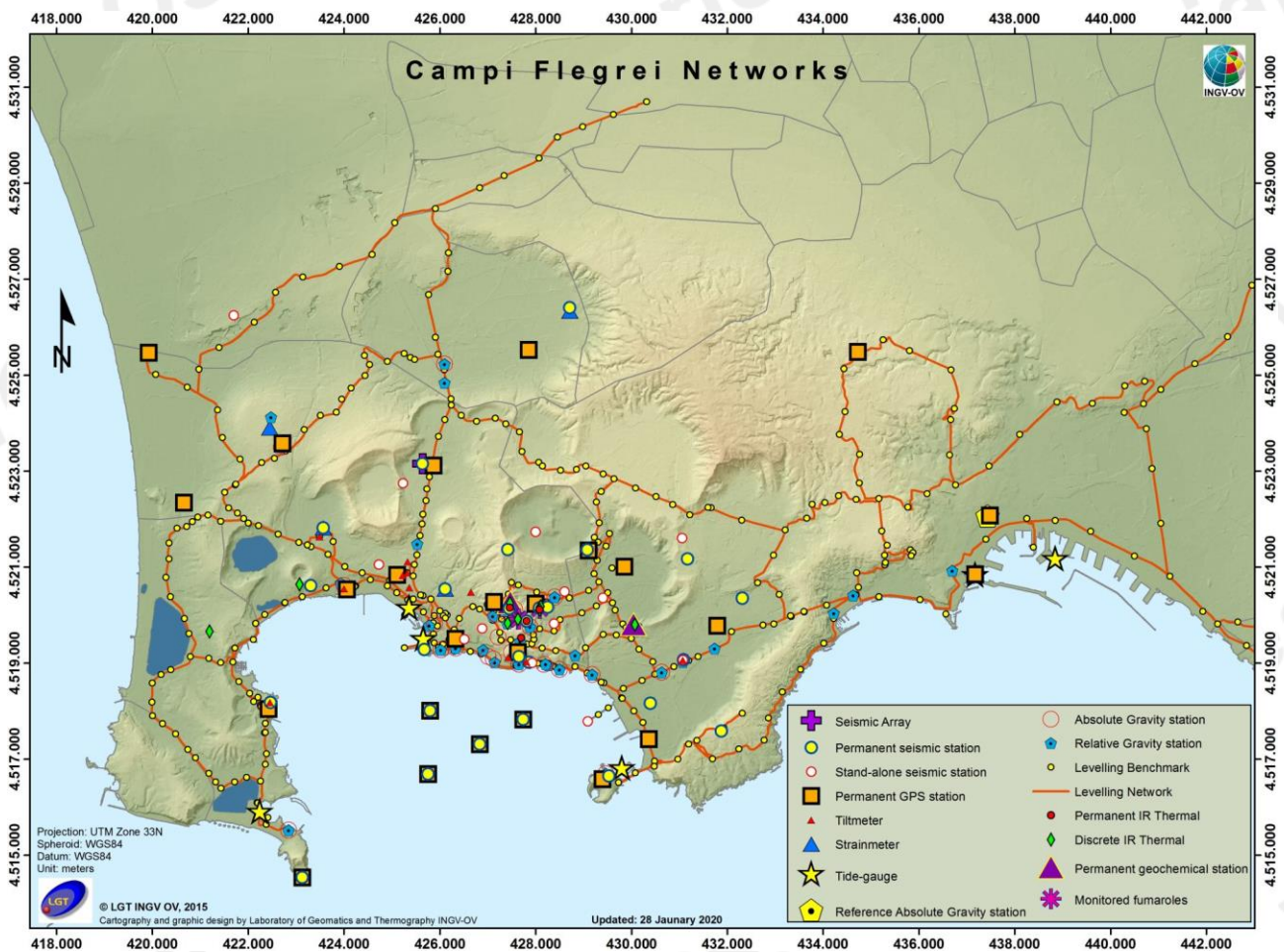


# Bollettino di Sorveglianza

## CAMPI FLEGREI

### APRILE 2020

A cura della Sezione di Napoli | OSSERVATORIO VESUVIANO



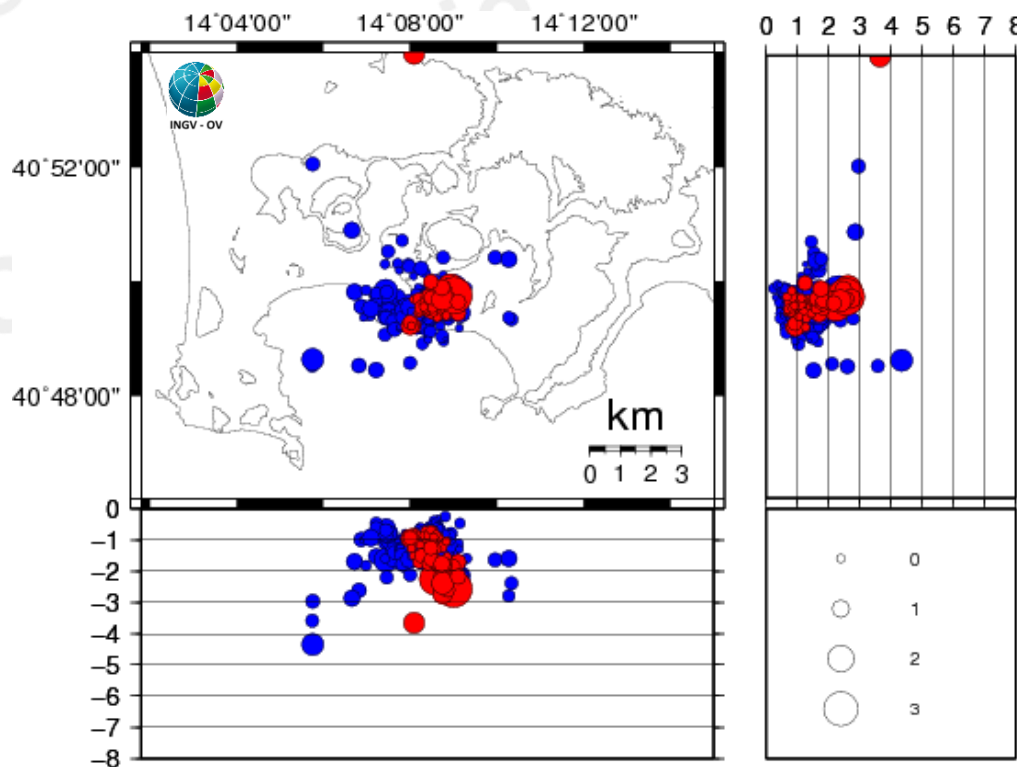


E' stato possibile determinare i parametri ipocentrali di 73 degli eventi registrati, le localizzazioni sono mostrate in Figura 1.3.

Tra le 01:26 e le 05:23 UTC del 26/04 è stato registrato uno sciame sismico consistito in una sequenza di 81 terremoti con  $-1.1 \leq M_d \leq 3.3$ , localizzati nell'area di Solfatara-Pisciarelli a profondità comprese tra 0.9 e 2.7 km.

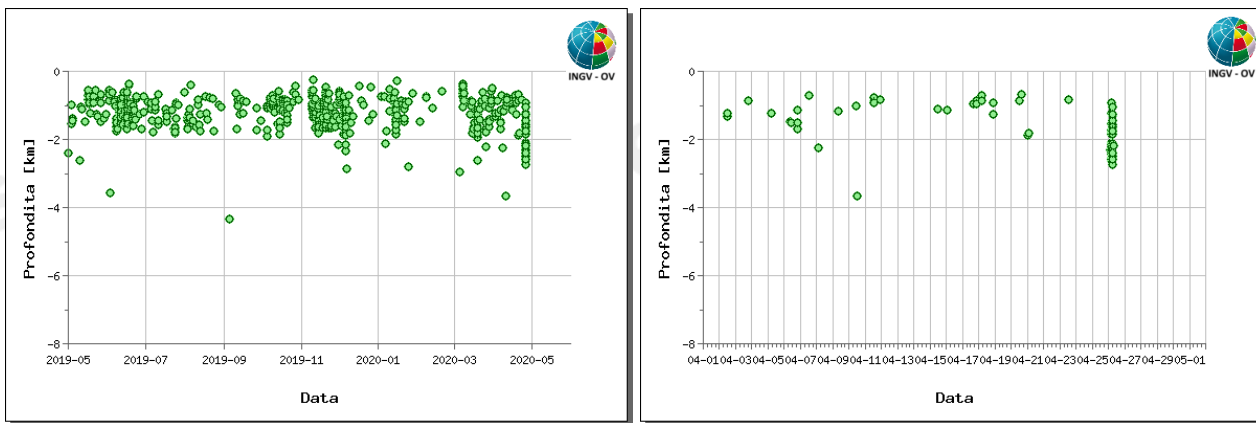
Il terremoto di  $M_d$  3.3 ( $\pm 0.3$ ) del 26/04 alle 02:59 UTC risulta, attualmente, l'evento di maggiore energia registrato a partire dalla ripresa di questa fase bradisismica iniziata nel 2005, ma è anche l'evento più energetico registrato dal 1985.

Si segnala, inoltre, un evento di  $M_d$  1.4 ( $\pm 0.3$ ) avvenuto il 10/04/2020 alle ore 09:49 UTC e localizzato al margine settentrionale della caldera flegrea.

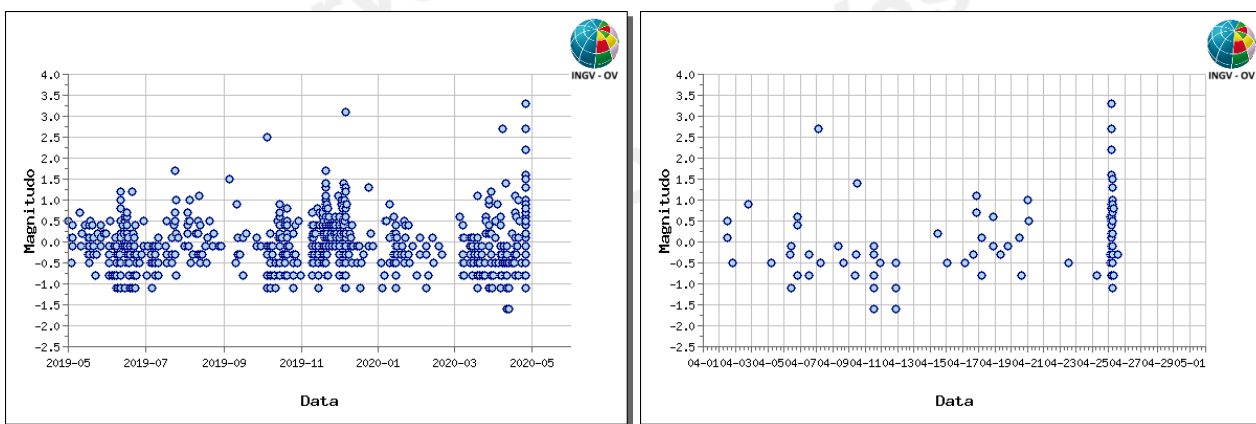


**Figura 1.3** - Localizzazioni ipocentrali ai Campi Flegrei nel corso degli ultimi 12 mesi (in blu) e dell'ultimo mese (in rosso). La dimensione dei simboli è proporzionale alla magnitudo, come indicato nel riquadro in basso.

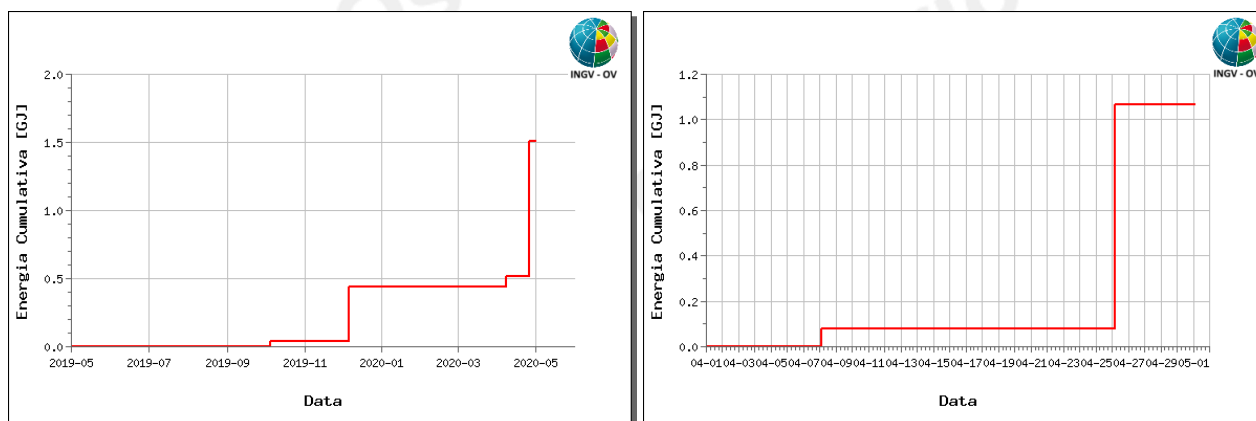
Non si evidenziano trend significativi negli altri parametri sismologici (Figg. 1.2-1.6).



**Figura 1.4** - Profondità ipocentrali degli eventi registrati ai Campi Flegrei nel corso degli ultimi 12 mesi (a sinistra) e dell'ultimo mese (a destra).



**Figura 1.5** - Magnitudo degli eventi registrati ai Campi Flegrei nel corso degli ultimi 12 mesi (a sinistra) e dell'ultimo mese (a destra).



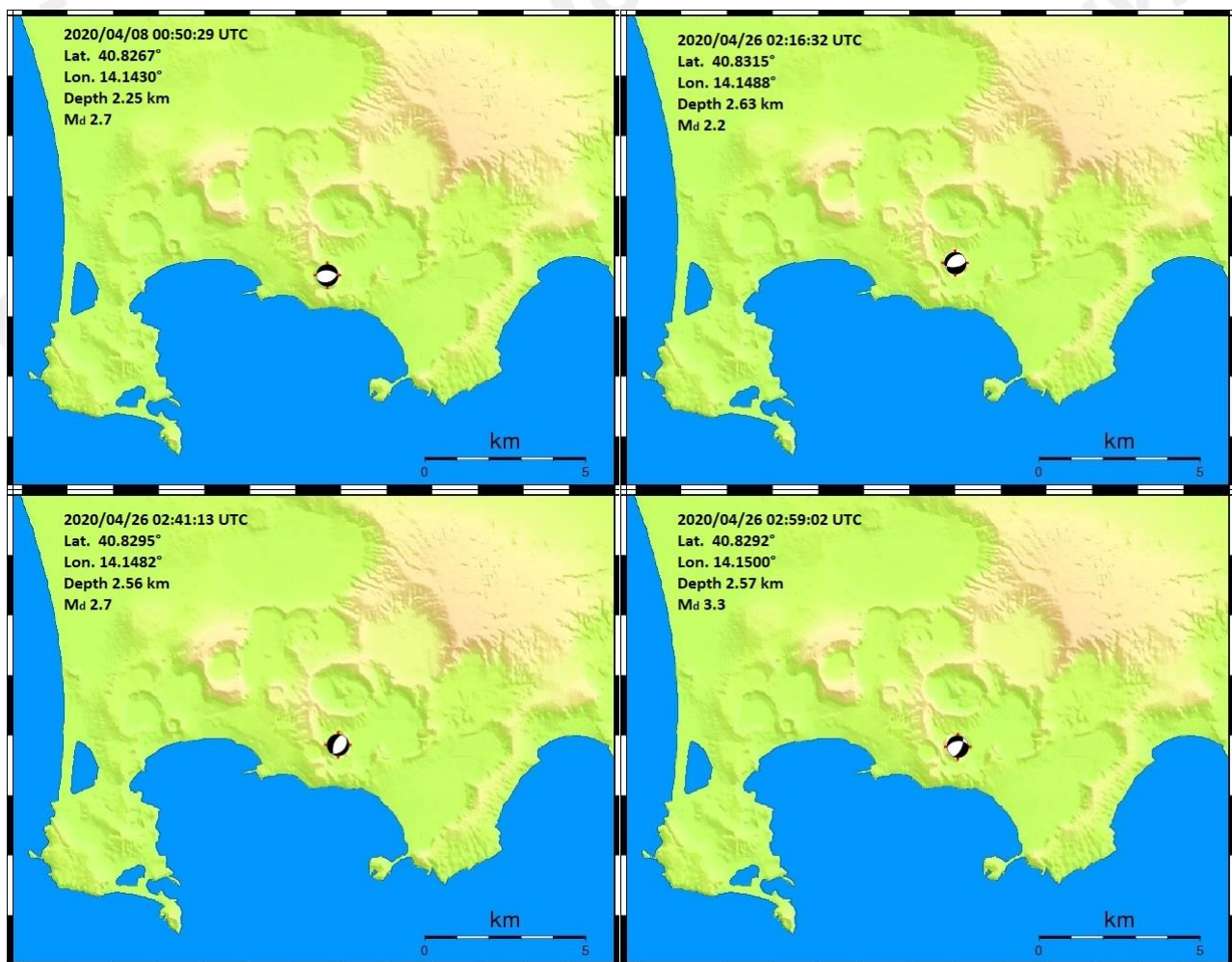
**Figura 1.6** - Rilascio cumulativo di energia sismica ai Campi Flegrei nel corso degli ultimi 12 mesi (a sinistra) e dell'ultimo mese (a destra).

In Tabella 1.1 è rappresentato il numero di eventi registrati divisi per classi di magnitudo e le relative percentuali.

**Tabella 1.1** – Riepilogo mensile della sismicità registrata ai Campi Flegrei divisa per classi di magnitudo e relative percentuali.

Numero totale terremoti: 145		$M_{dmax}=3.3 (\pm 0.3)$
Numero terremoti con <b>Md &lt; 0.0</b>	63	(43.45%)
Numero terremoti con <b>0.0 ≤ Md &lt; 1.0</b>	36	(24.83%)
Numero terremoti con <b>1.0 ≤ Md &lt; 2.0</b>	7	(4.83%)
Numero terremoti con <b>2.0 ≤ Md &lt; 3.0</b>	3	(2.07%)
Numero terremoti con <b>Md ≥ 3.0</b>	1	(0.69%)
Numero terremoti con <b>Md N.D.</b>	35	(24.14%)

L'analisi dei meccanismi focali degli eventi più energetici del mese di aprile 2020 (Tab.1.2) mostra, per tutti e 4 gli eventi, soluzioni associabili a meccanismi di tipo normale con componente obliqua (Fig. 1.7).

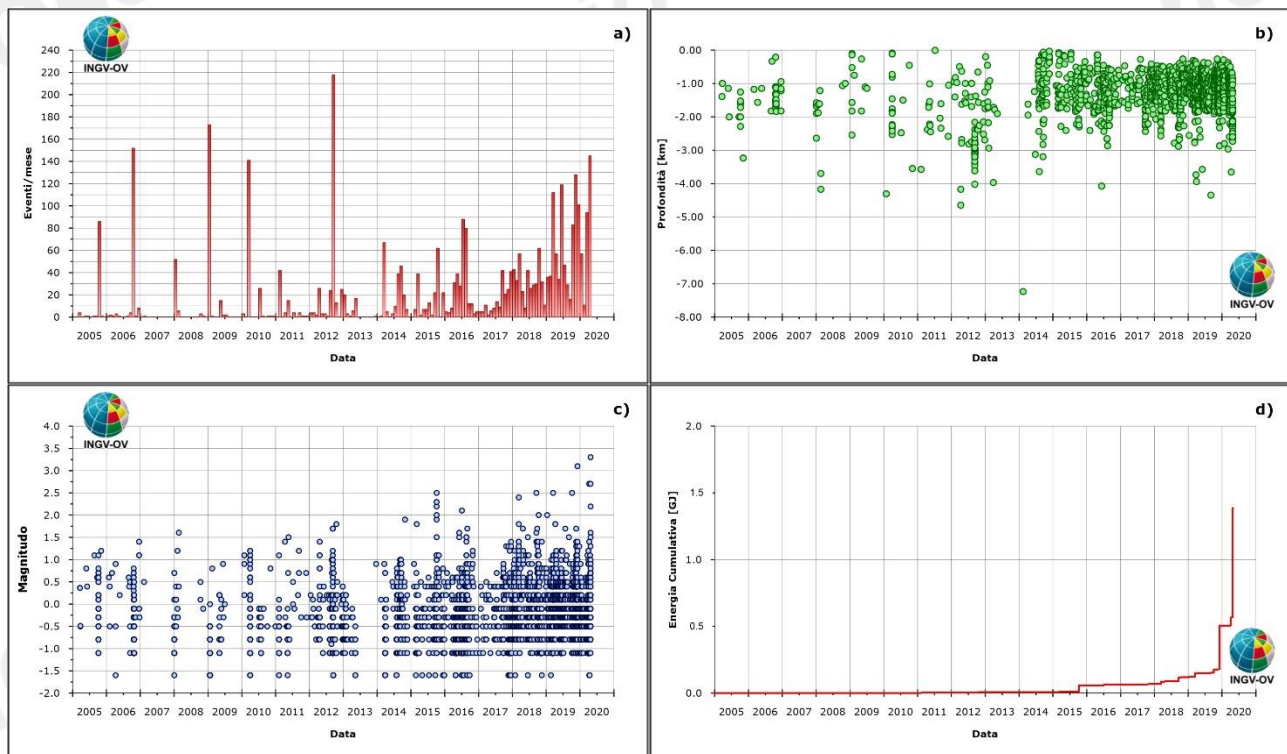


**Figura 1.7** – Localizzazione e meccanismi focali degli eventi riportati in Tabella 1.2

**Tabella 1.2** – Parametri ipocentrali dei terremoti di magnitudo  $\geq 2.0$  registrati ai Campi Flegrei nel mese di aprile 2020.

Data UTC	Md	Lat N	Long E	Prof. (km)
2020/04/08 00:50:29.28	2.7	40.8267	14.1430	2.25
2020/04/26 02:16:32.24	2.2	40.8315	14.1488	2.63
2020/04/26 02:41:13.57	2.7	40.8295	14.1482	2.56
2020/04/26 02:59:02.45	3.3	40.8292	14.1500	2.57

In figura 1.8 sono rappresentati gli andamenti dei principali parametri sismologici a partire dal 2005.



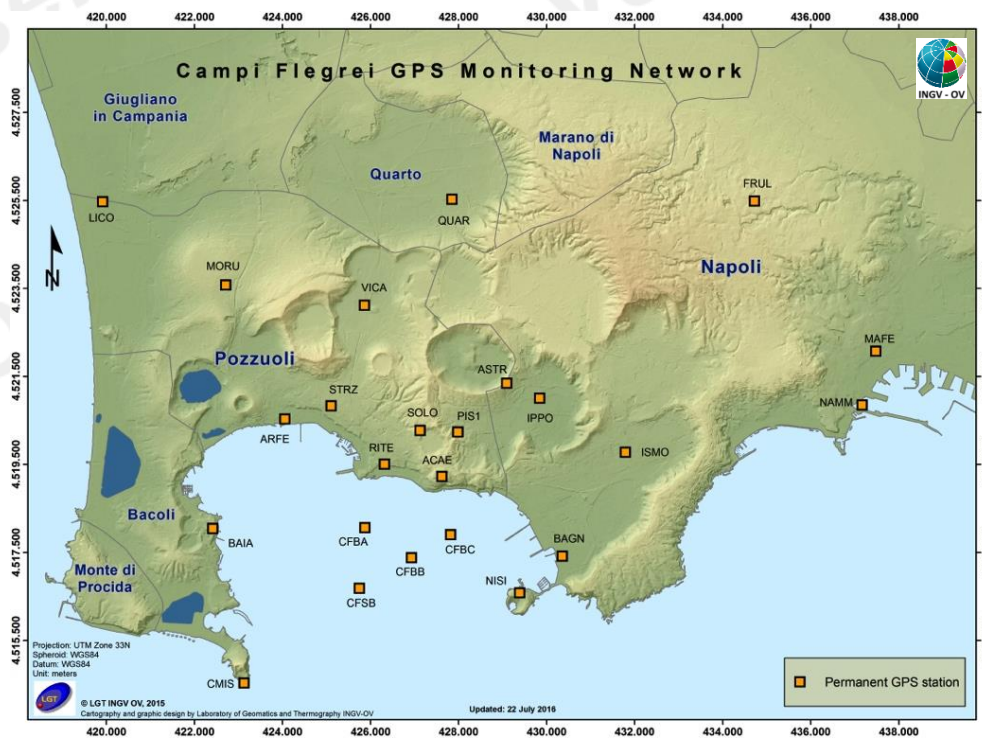
**Figura 1.8** - Andamento dei principali parametri sismologici a partire dal 2005: a) frequenza di accadimento; b) profondità ipocentrali; c) magnitudo; d) energia cumulativa.

## 2. DEFORMAZIONI DEL SUOLO

### 2.1 GPS

La Rete GPS permanente dei Campi Flegrei è costituita da 25 stazioni (Figura 2.1.1).

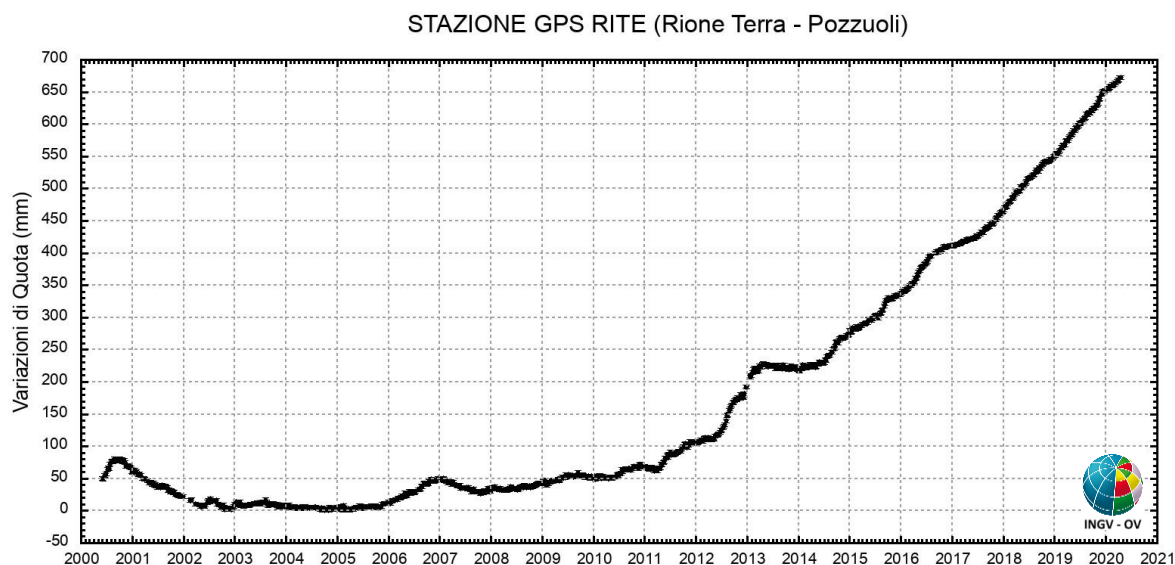
Il valore medio della velocità di sollevamento nell'area di massima deformazione di circa 7mm/mese (8.5 cm/anno  $\pm$  0.5 cm) registrato a partire da luglio 2017, ha mostrato un incremento nelle settimane tra la fine di novembre e gli inizi di dicembre 2019 (Figura 2.1.2), per poi ritornare ai consueti valori medi dopo lo sciame del 6 dicembre.



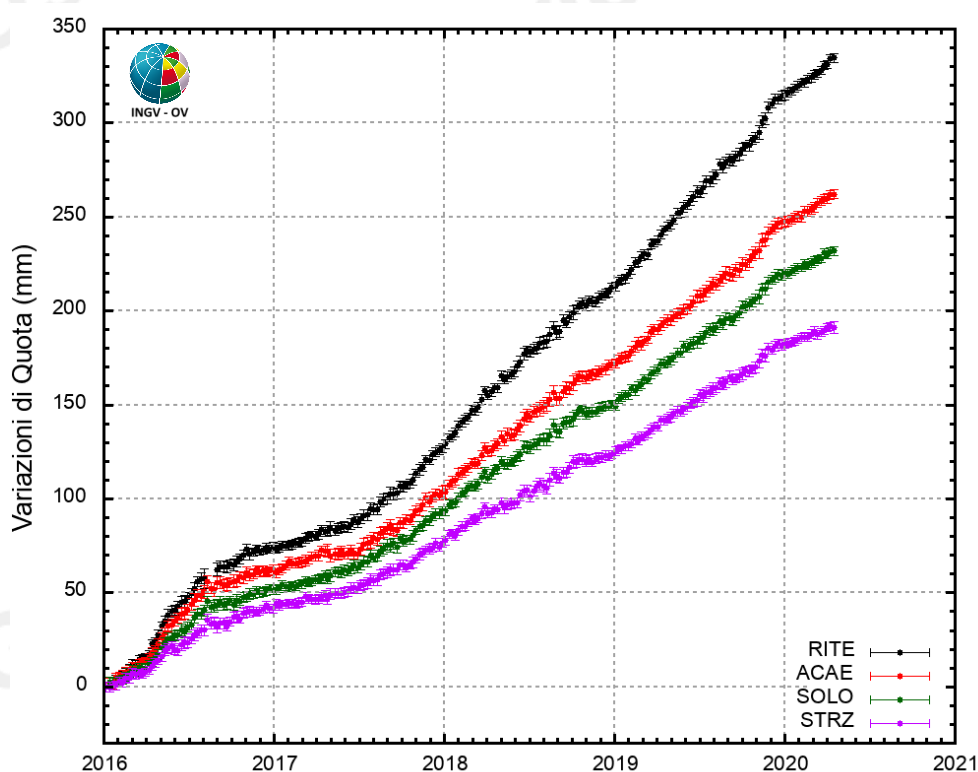
**Figura 2.1.1** - Rete GPS Permanente dei Campi Flegrei.

Il sollevamento totale registrato alla stazione GPS di RITE è di circa 67 cm da novembre 2005, inizio dell'attuale fase di unrest (Fig. 2.1.2). Da gennaio 2016 ad oggi il sollevamento nell'area di massima deformazione è di circa 33 cm (Fig. 2.1.3).

La figura 2.1.3 riporta le serie temporali delle variazioni in quota di alcune stazioni GPS ubicate nella zona di massima deformazione dei Campi Flegrei.

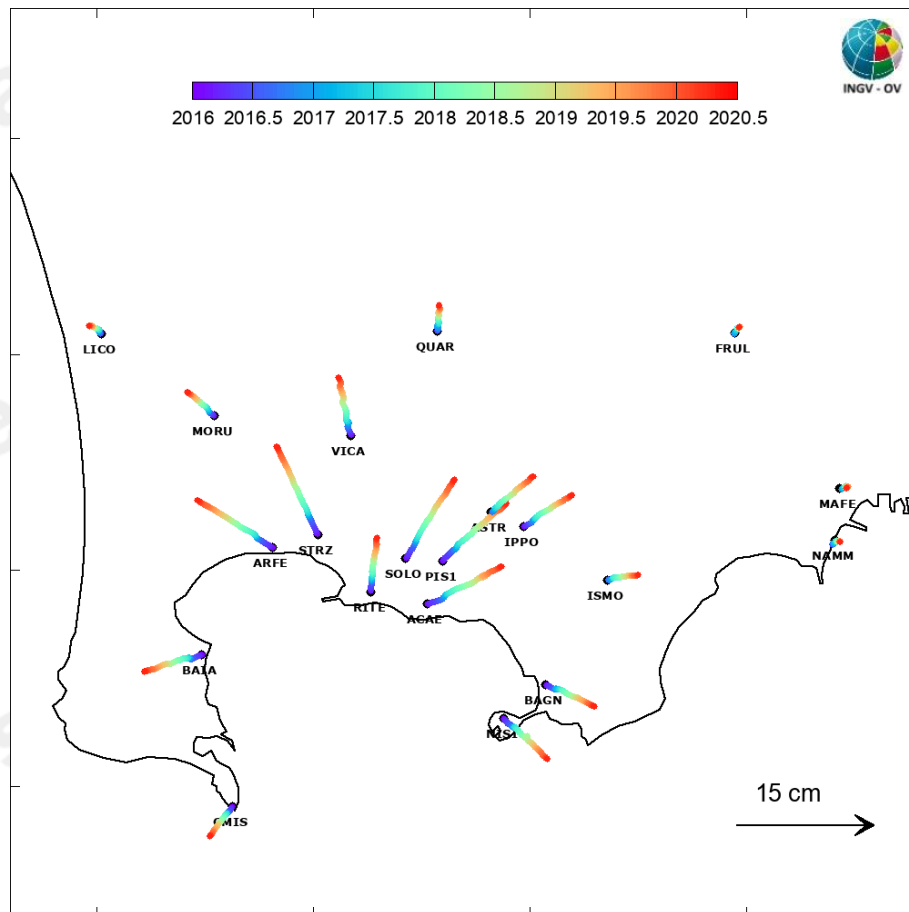


**Figura 2.1.2** - Serie temporale delle variazioni settimanali in quota della stazione di RITE (Pozzuoli – Rione Terra) dal 2000 ad aprile 2020.



**Figura 2.1.3** - Serie temporale delle variazioni in quota della stazione di RITE (Pozzuoli - Rione Terra), ACAE (Accademia Aeronautica), SOLO (Solfatara) e STRZ (Pozzuoli - Cimitero) da gennaio 2016 ad aprile 2020.

In Figura 2.1.4 è riportata la mappa dei vettori degli spostamenti orizzontali registrati alle stazioni CGPS ai Campi Flegrei dal 2016. Si conferma la forma radiale del campo di deformazione, simile a quelle già individuate nelle precedenti fasi del sollevamento, e la conseguente stabilità della sorgente di deformazione localizzata nel Golfo di Pozzuoli a qualche centinaio di metri a sud della stazione di RITE.



**Figura 2.1.5** - Mappa degli spostamenti GPS orizzontali registrati nell'area flegrea da gennaio 2016 ad aprile 2020.

## 2.2 Tiltmetria

La Rete di Monitoraggio delle inclinazioni del suolo dei Campi Flegrei consiste di 10 stazioni di cui 4 equipaggiate con sensori analogici di superficie (BAI, SLF, TOI, CSO), 3 con tiltmetri analogici da pozzo (PSC, ARC, TOI installati da 1 a 7 m di profondità) e 3 con sensori digitali da pozzo (CMP, ECO, HDM installati a 25 m di profondità) (Fig. 2.2.1).

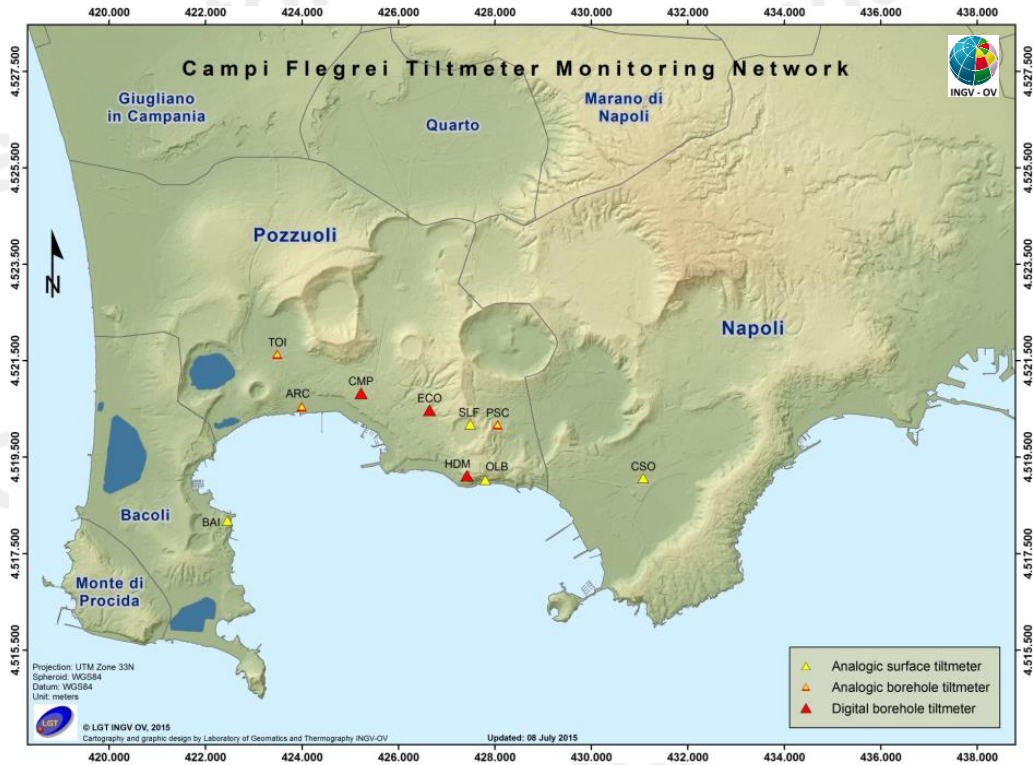
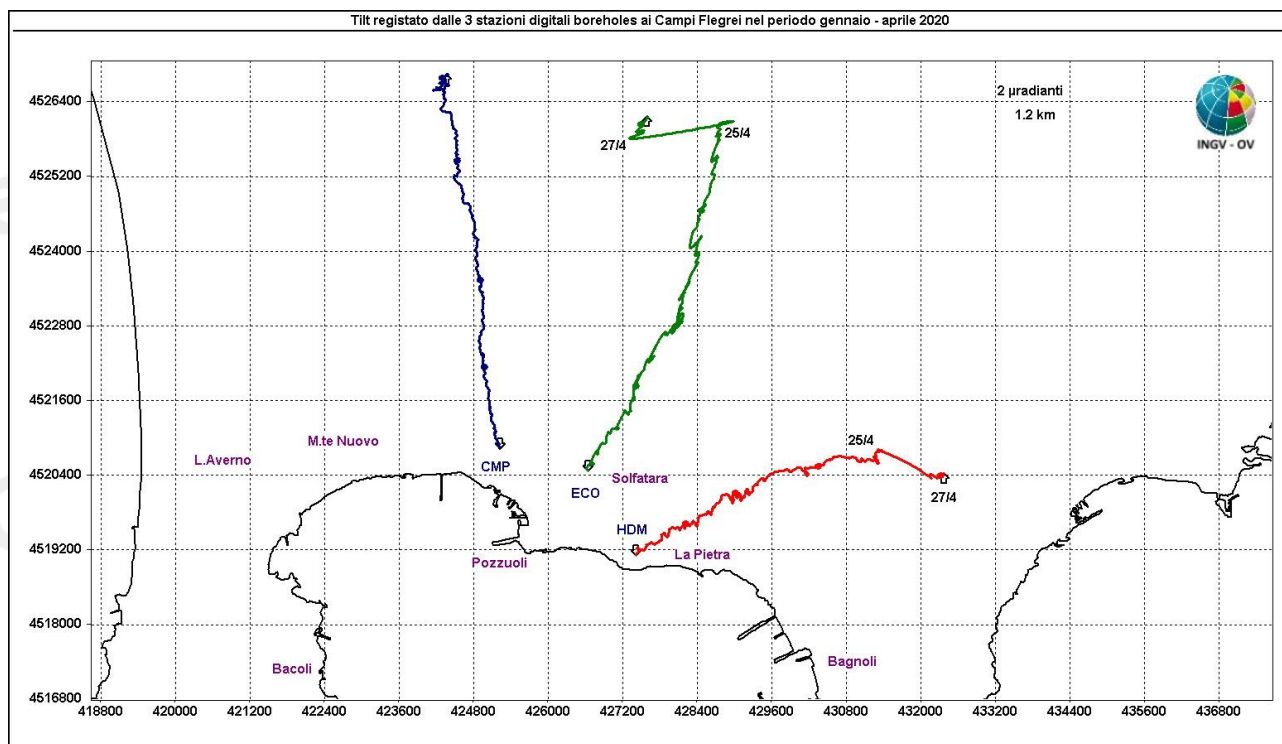


Figura 2.2.1 – Rete Tiltmetrica dei Campi Flegrei.

La variazione tiltmetrica osservata ai Campi Flegrei nel corso del 2020 mostra un pattern conforme al campo di deformazione generato dalla fase di uplift che interessa Pozzuoli (Fig. 2.2.2).



**Figura 2.2.2** - Pattern tiltmetrico osservato ai Campi Flegrei. Per comodità di rappresentazione grafica e per una interpretazione più agevole, sono state selezionate in tale figura solo le 3 stazioni "borehole" con sensori ubicati a 25 m di profondità. Il lato di ogni maglia del reticolo equivale a 2  $\mu$ radianti o 1.2 km ed i pallini in colore sovrapposti sui vettori tilt indicano intervalli di 30 giorni.

La deformazione relativa a ogni sito-stazione è rappresentata con segmenti orientati di colore diverso; l'origine di ogni vettore tilt è siglata con il nome del sito stesso ed evidenziata con una freccia puntata verso il basso mentre l'estremo libero è indicato con una freccia puntata verso l'alto. Il verso di ogni vettore indica settori di crosta in abbassamento ed è univocamente definito dal suo estremo libero.

Nella Tabella seguente sono riportate, per le stazioni digitali, la variazione d'inclinazione del suolo, con la relativa la direzione di tilting, nonché quella termica registrata a fondo pozzo ( $\approx -25$  m dal p.c.) acquisite nel periodo gennaio-aprile 2020.

Sito	Inclinazione e direzione	Temperatura
Stazione ECO (89 m s.l.m.)	9.6 $\mu$ radianti a NNE	0.04 °C
Stazione CMP (62 m s.l.m.)	10.1 $\mu$ radianti a NNW	0.01 °C
Stazione HDM (112 m s.l.m.)	8.5 $\mu$ radianti a ENE	0.00 °C

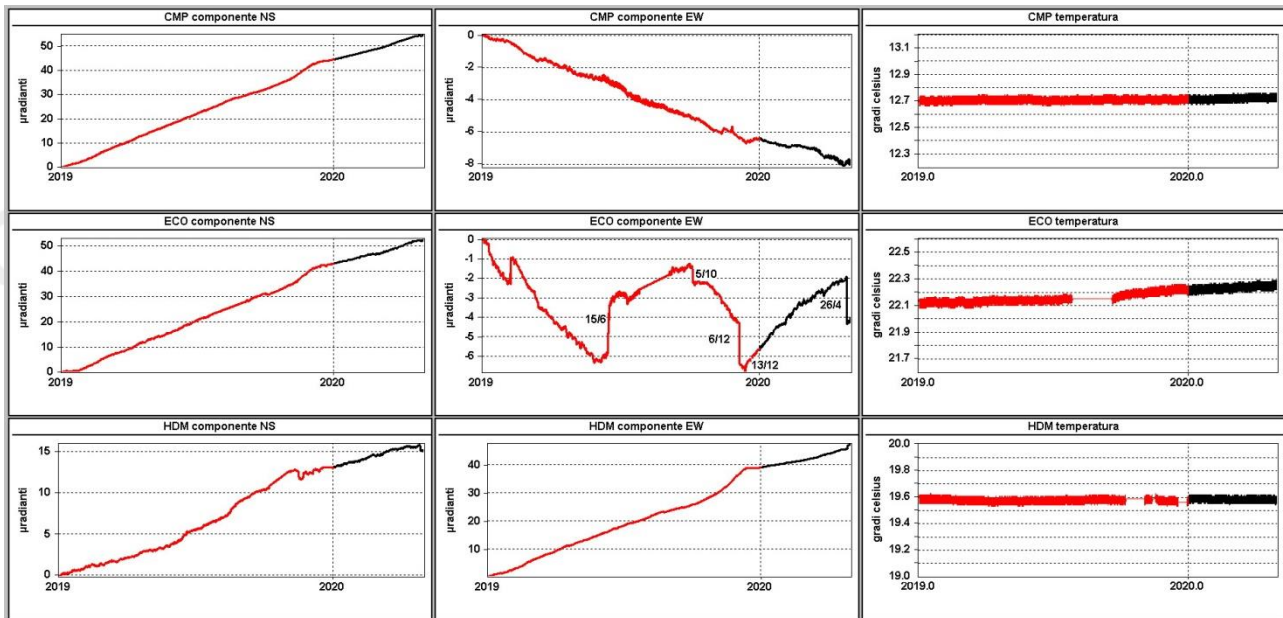
In Figura 2.2.3 sono riassunti gli andamenti delle componenti tiltmetriche (filtrate dalle periodicità giornaliere) e termica registrate da ognuna delle 3 stazioni borehole.

Per evidenziare la continuità dei segnali, il periodo di tempo rappresentato parte dal 1 gennaio 2019; poiché, inoltre, i segnali acquisiti rappresentano la variazione di tilt, sono stati tutti azzerati a partire da quella data.

Componenti NS del tilt: perdura la diminuzione di “rate” nell’inclinazione a N.

Componenti EW del tilt: HDM ed ECO si inclinano ad E, anche se ciò avviene ad HDM più lentamente che nel passato. CMP si inclina invece ad W, con ratei conformi all’uplift in corso.

Lo sciame sismico del 26 aprile provoca un tilt cosismico di 2.2  $\mu$ radianti a EW ECO, 0.8  $\mu$ radianti a NS HDM e 2.2  $\mu$ radianti ad EW HDM.



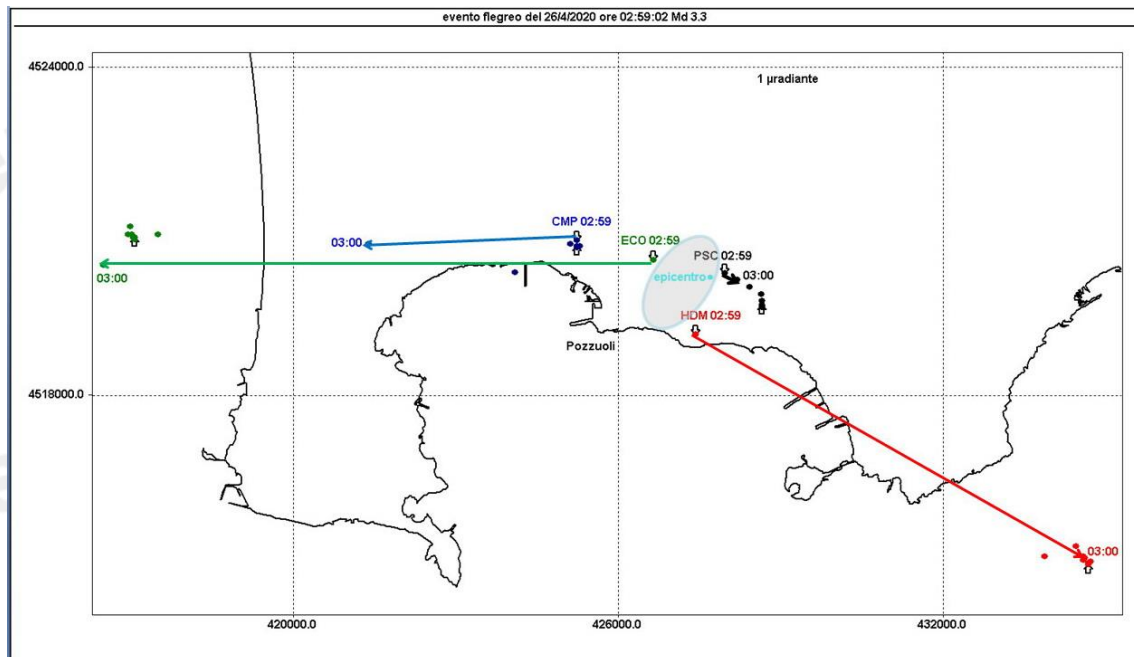
**Figura 2.2.3** – Serie temporali dei segnali registrati a partire dal 2019 dalle 3 stazioni “borehole” della rete flegrea ordinate dal basso verso l’alto secondo la latitudine. Le prime 2 colonne riportano le componenti NS ed EW in  $\mu$ radianti i cui valori di tilt crescenti nel tempo indicano rispettivamente la variazione di inclinazione del suolo a N e ad E, mentre la terza colonna riporta la temperatura in °C registrata da ogni sensore. In rosso sono riportati i segnali relativi al 2019 mentre in nero sono rappresentati quelli registrati nel 2020.

Lo sciame sismico del 26 aprile ( $M_{dmax}=3.3$ ) ha interrotto il pattern tiltmetrico osservato ad ECO ed HDM introducendo un tilt cosismico rispettivamente di 2.3 ed 1.7  $\mu$ radianti.

La direzione di tilting assunta dal tiltmetro ECO in seguito agli eventi di cui sopra, risulta identica a quella osservata in corrispondenza sia dell’evento sismico del 5 ottobre 2019 ( $M_d=2.5$  con 1  $\mu$ radiante) che di quello del 6 dicembre 2019 ( $M_d=3.1$  con 2  $\mu$ radianti). La stessa direzione contraddistinse la medesima stazione durante lo sciame sismico del 7 ottobre 2015 ( $M_{dmax}=2.5$  con 5  $\mu$ radianti).

In Fig. 2.2.4 è riportato un dettaglio dell’odografo di Fig. 2.2.2; in esso è rappresentata, includendo anche il tilt osservato a PSC, la deformazione tiltmetrica nei primi 9 minuti (con un vettore per il primo minuto e per punti nei successivi 8 minuti) a partire da quello in cui è avvenuto l’evento del 26 aprile di  $M_d=3.3$ .

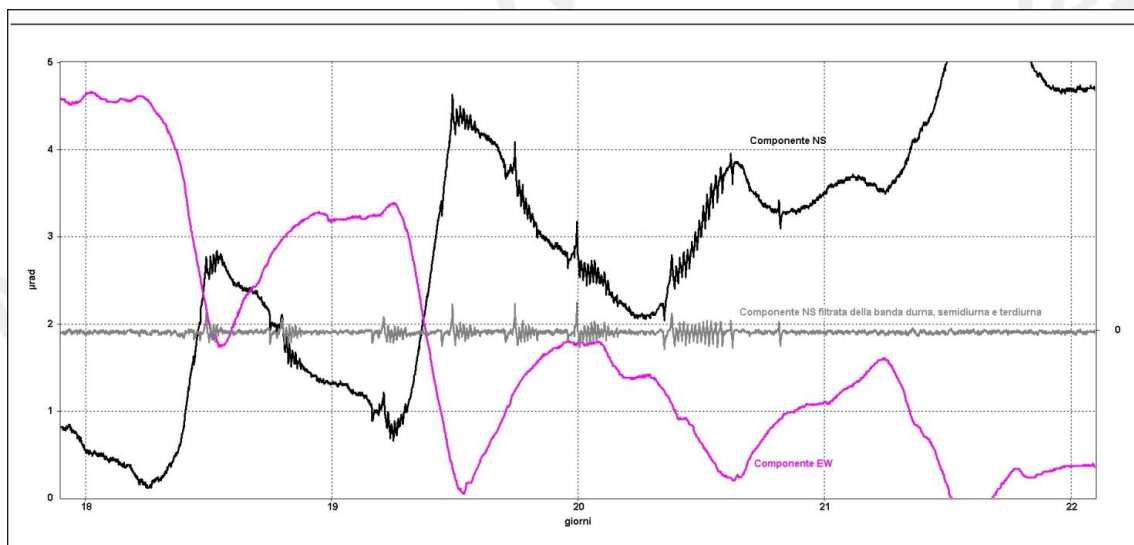
Le frecce colorate rappresentano i vettori tilt che partono dai rispettivi punti origine coincidenti con i 4 siti stazione. E’ interessante notare come le loro direzioni, coerentemente con il meccanismo focale dell’evento (Fig. 1.7), tendano a convergere in un’ellisse di deformazione, orientato e dimensionato qualitativamente in modo tale da comprenderle tutte e che include l’epicentro del terremoto.



**Figura 2.2.4** - Pattern tiltmetrico osservato ai Campi Flegrei nei primi 9 minuti, compreso quello dell'evento. E' riportato con un pallino colorato sia l'epicentro che la proiezione in superficie del centroide di deformazione ipotizzato.

Si riporta, infine, la seguente osservazione ottenuta dall'analisi di dettaglio dello spettro del segnale della stazione PSC, che ha permesso di riconoscere ed estrarre una modulazione (in banda 20-100 minuti ma con una prevalenza a 20 minuti) sulla componente NS, comparsa il 13 aprile e durata fino al 20 aprile u.s.

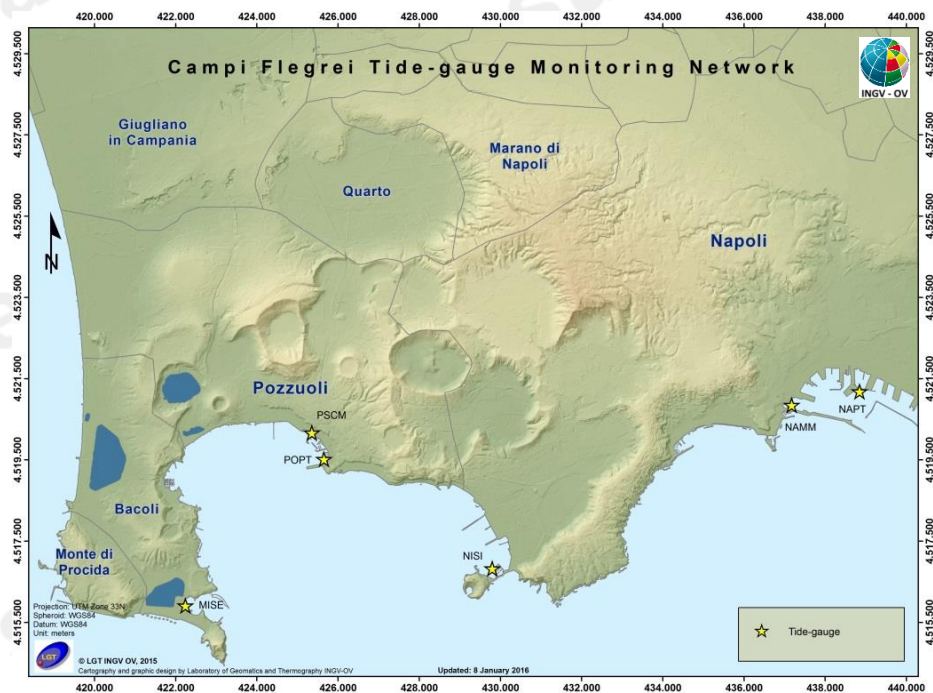
Tale modulazione, ottenuta filtrando il segnale tiltmetrico in banda diurna, semidiurna e terdiurna, non si era mai verificata prima con tale durata e cadenza; inoltre, la sua distribuzione nell'arco delle 24 ore si rivela abbastanza omogenea anche se sembra che coesistano due cluster temporali, il primo tra le 9 e le 15 ed il secondo alle 20 (Fig. 2.2.5).



**Figura 2.2.5** - Ultimi 4 giorni del periodo (13÷20 aprile) in cui è comparsa la modulazione (in banda 20-100 minuti ma con una prevalenza a 20 minuti) sulla componente NS del tiltmetro installato in località Pisciarelli. In grigio è sovrapposto il segnale ottenuto dopo il filtraggio della banda diurna, semidiurna e terdiurna.

### 2.3 Mareometria

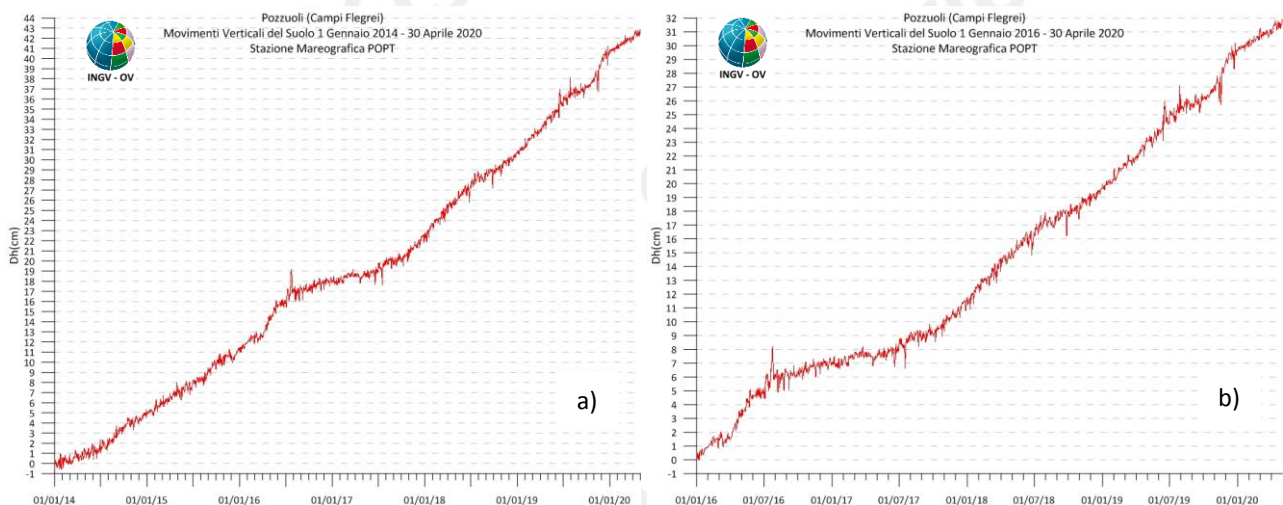
La Rete Mareografica dei Campi Flegrei è riportata in Figura 2.3.1.



**Figura 2.3.1** - Rete Mareografica dei Campi Flegrei.

I dati mareografici relativi alla stazione di Pozzuoli Porto nel periodo gennaio 2014 – aprile 2020 mostrano l'andamento di Figura 2.3.2a, dal quale si evince un sollevamento di circa 42.5 cm pari ad una velocità mensile di circa 5.6 mm. Da gennaio 2016 ad aprile 2020 si ha un contributo di circa 32 cm di sollevamento (Figura 2.3.2b).

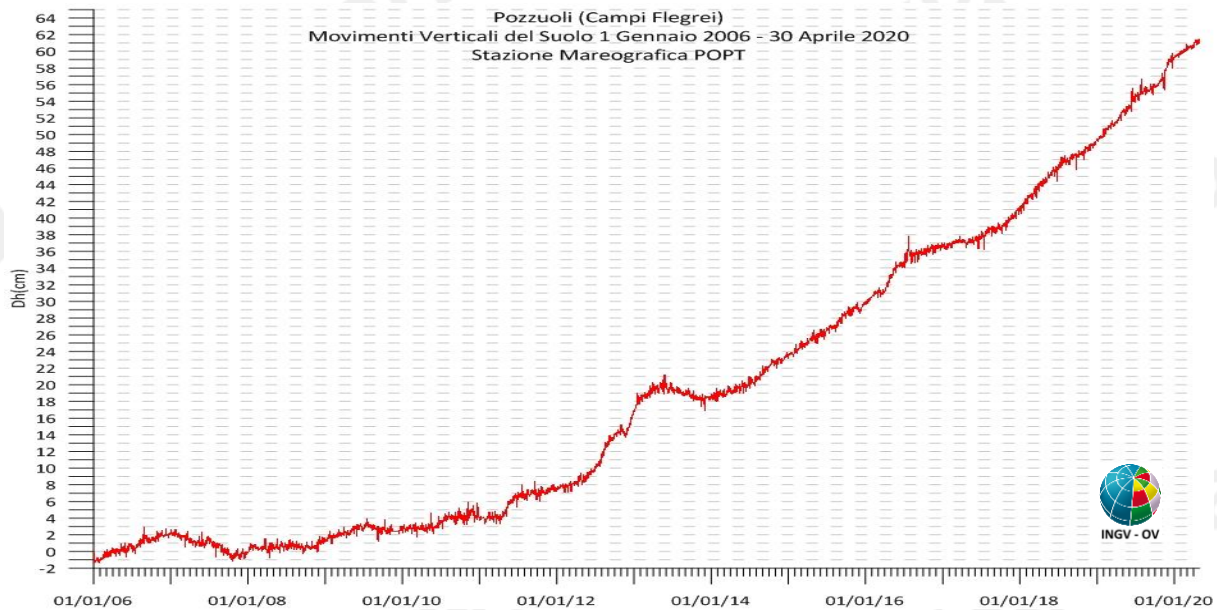
Il picco visibile verso la fine del mese di luglio 2016 è stato determinato dal malfunzionamento temporaneo del sensore della stazione di riferimento NAMI, mentre quelli visibili a fine settembre 2018 e metà novembre 2019 sono stati determinati da particolari condizioni meteorologiche.



**Figura 2.3.2** - Movimenti verticali del suolo, nel periodo gennaio 2014 – aprile 2020 (a) e gennaio 2016 – aprile 2020 (b), ottenuti dall'analisi dei dati acquisiti dal sensore digitale alla stazione mareografica di Pozzuoli Porto (POPT) (area centrale della caldera flegrea). Le variazioni riportate rappresentano le medie giornaliere e sono riferite alla stazione di Napoli molo S.Vincenzo (NAMI).

I dati nella serie temporale dal 2006 ad oggi (Figura 2.3.3), sono stati raccordati con i dati riferiti alla ex stazione NAPT (dismessa a febbraio 2016), potendoli considerare omogenei all'interno degli errori di misura.

Dal 2006 a oggi si registra un sollevamento di circa 61.5 cm alla stazione di Pozzuoli Porto.

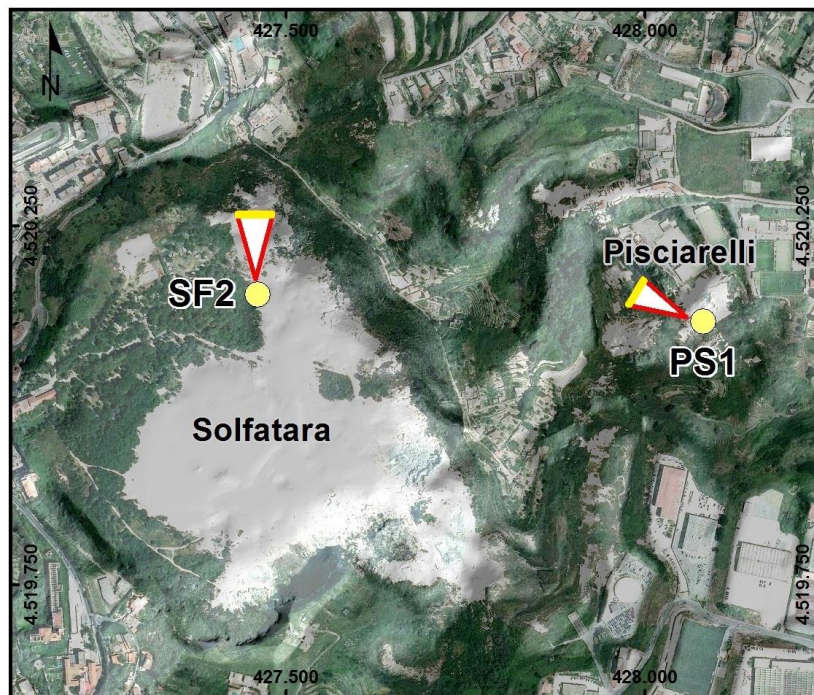


**Figura 2.3.3** - Movimenti verticali del suolo, nel periodo gennaio 2006 – aprile 2020, ottenuti dall'analisi dei dati acquisiti dal sensore digitale alla stazione mareografica di Pozzuoli Porto (POPT) (area centrale della caldera flegrea). Le variazioni riportate rappresentano le medie giornaliere e sono riferite alla stazione di Napoli molo S.Vincenzo (NAMM).

### 3. MONITORAGGIO TERMICO AD IMMAGINE

#### 3.1 Rete Permanente Monitoraggio Termico ad Immagine

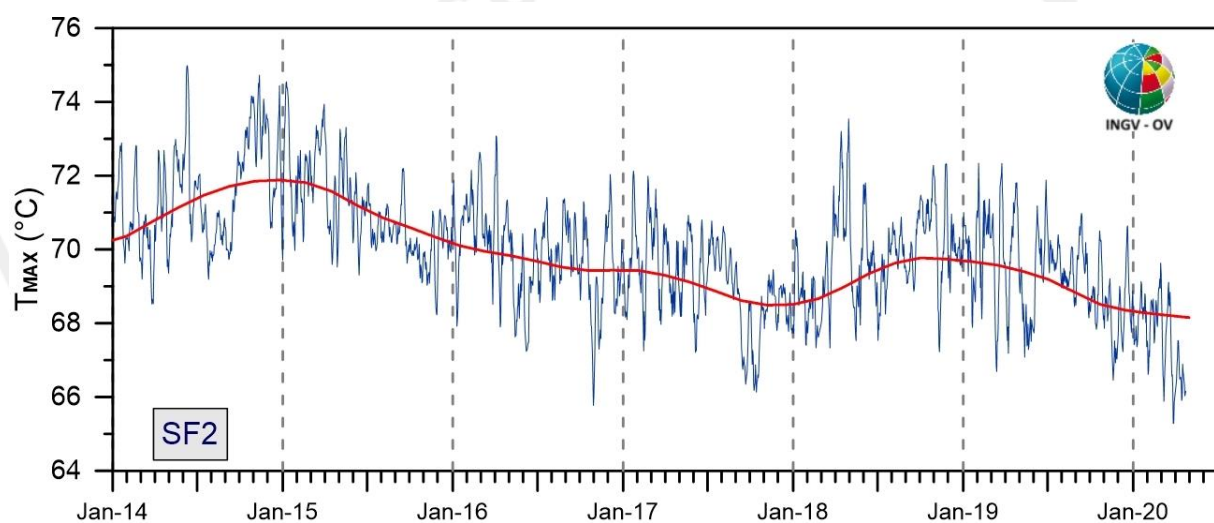
La stazione SF2 della Rete Permanente di Monitoraggio Termico (TIRNet) dei Campi Flegrei acquisisce immagini all'infrarosso termico del settore settentrionale del versante interno del cratere della Solfatara, mentre la stazione PS1 acquisisce immagini all'infrarosso termico della parte alta del versante ad ovest della fumarola principale in località Pisciarelli (Fig. 3.1.1; Silvestri et al., 2017; Vilardo et al., 2015).



**Figura 3.1.1** - Mappa della Rete Permanente di Monitoraggio Termico ad immagine (TIRNet) con l'ubicazione delle stazioni SF2 e PS1. Punto giallo: posizione della stazione; base del triangolo: area campionata.

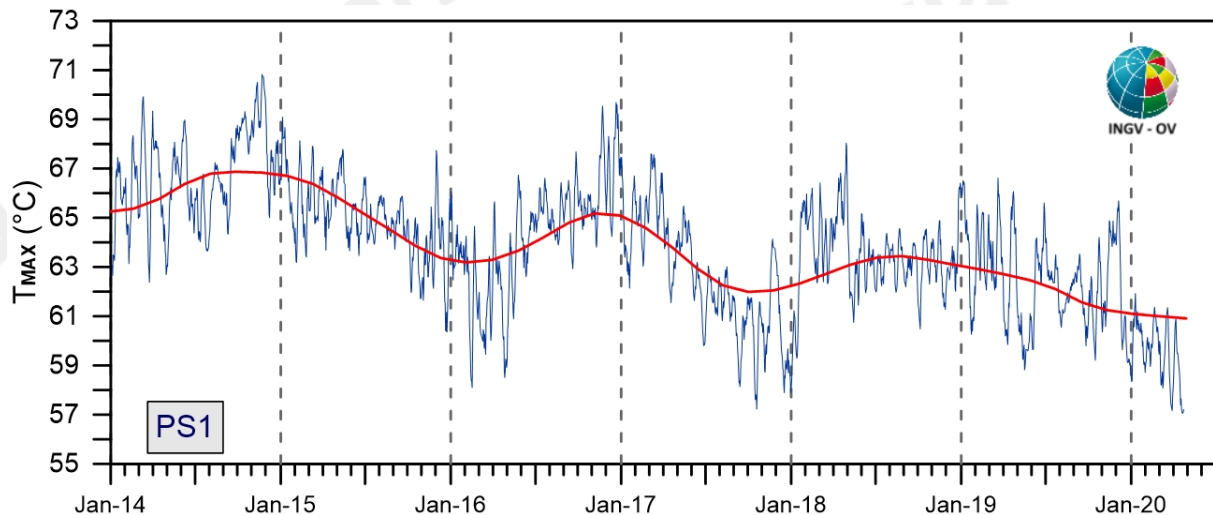
Le figure seguenti mostrano l'elaborazione delle serie temporali dei valori di temperatura massima delle immagini IR acquisite dalle stazioni SF2 (Fig. 3.1.2) e PS1 (Fig. 3.1.3), processati mediante l'algoritmo di destagionalizzazione analitica STL (Seasonal Trend Decomposition).

La serie temporale delle temperature massime rilevate dalla stazione SF2 è caratterizzata dalla presenza di oscillazioni di varia ampiezza e periodo (Fig. 3.1.2). Dall'inizio del 2015 fino a febbraio 2018 si osserva un trend in lieve diminuzione, mentre nei mesi di marzo e di aprile 2018 le temperature massime hanno mostrato un sensibile aumento. Da luglio 2018 a tutto aprile 2020 si osserva un andamento dei valori di temperatura stazionario con lieve tendenza alla diminuzione.



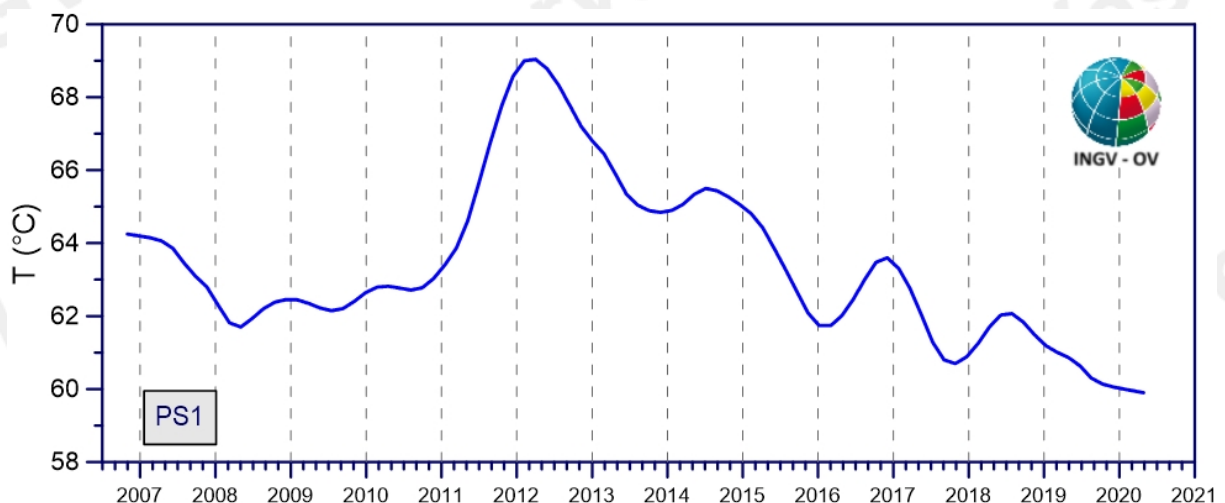
**Figura 3.1.2** - Stazione SF2. Serie temporali delle medie settimanali (blu) e del trend a lungo termine (rosso) dei valori di temperatura massima rilevati nell'immagine IR destagionalizzata mediante applicazione dell'algoritmo STL.

Così come osservato per la stazione SF2 (Fig. 3.1.2), la serie temporale delle temperature massime rilevate dalla stazione PS1 è caratterizzata dalla presenza di oscillazioni di varia ampiezza e periodo (Fig. 3.1.3). L'andamento delle temperature alla stazione PS1 (Fig. 3.1.3), dopo una costante diminuzione registrata nel 2017, ha presentato un significativo aumento nei mesi da gennaio ad aprile 2018. Dall'inizio del mese di luglio 2018 a tutto aprile 2020 l'andamento dei valori di temperatura mostra una lieve e costante tendenza alla diminuzione.



**Figura 3.1.3** - Stazione PS1. Serie temporali delle medie settimanali (blu) e del trend a lungo termine (rosso) dei valori di temperatura massima rilevati nell'immagine IR destagionalizzate mediante applicazione dell' algoritmo STL.

In Figura 3.1.4 è mostrato il trend a lungo termine (ottobre 2007 - aprile 2020) delle variazioni delle temperature massime superficiali rilevate dalla stazione PS1 ottenuto mediante applicazione dell'algoritmo STL.



**Figura 3.1.4** - Stazione PS1: Stazione Pisciarelli. Trend a lungo termine dei valori di temperatura massima rilevati nell'immagine IR ottenuto mediante applicazione dell'algoritmo STL.

Dopo il raggiungimento del picco massimo dei valori di temperatura nella prima metà del 2012, si rileva la presenza di un trend in costante diminuzione, seppure caratterizzato da ampie oscillazioni a lungo periodo.

Dal mese di luglio 2018 a tutto marzo 2020, il trend a lungo termine della temperatura superficiale dell'area target mostra un andamento stazionario costante, caratterizzato da una leggera tendenza alla diminuzione. Nel mese di aprile 2020, il trend della temperatura massima dell'area monitorata ha raggiunto il valore minimo rilevato nell'intero periodo di osservazione.

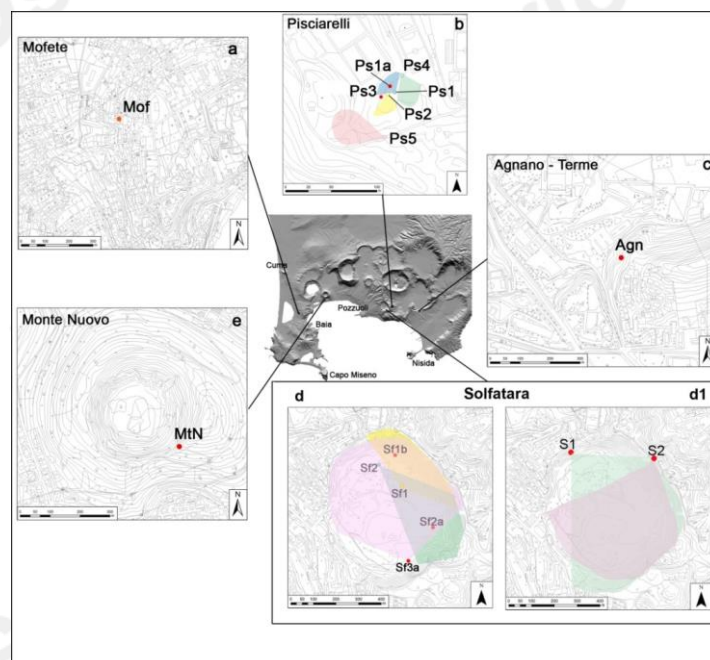
### 3.2 Monitoraggio Termico con Termocamera Mobile e Termocoppia

La sorveglianza vulcanologica tramite Telecamere Termiche Mobili (TTM) e termocoppie rigide ha come principale obiettivo l'individuazione di eventuali variazioni nel tempo dei valori di temperatura misurati al suolo in punti discreti e/o di aree a temperatura maggiore in modo da evidenziare eventuali modifiche nella distribuzione areale del campo fumarolico.

I rilievi sono eseguiti mensilmente in condizioni di non irraggiamento solare (essenzialmente di notte), utilizzando una termocamera portatile FLIR SC640 ad alta risoluzione (640 x 480 pixel) e sensibilità ( $<0.06^{\circ}\text{C} + 30^{\circ}\text{C}$ ). La termocoppia utilizzata è di tipo K, con errore strumentale di circa  $0.1^{\circ}\text{C}$  nell'intervallo  $-200 \div 1260^{\circ}\text{C}$ . Le misure ottenute con la termocamera sono confrontate, quando possibile, con quelle eseguite con termocoppia rigida.

#### Ubicazione dei punti di misura ai Campi Flegrei

Le aree e i punti in cui sono effettuate le misure termiche nella caldera dei Campi Flegrei sono distribuite in varie zone del fondo della caldera (Fig. 3.2.1).



**Figura 3.2.1** – Ubicazione dei punti di misura e dei settori indagati ai Campi Flegrei. I pallini rossi indicano i punti stazione dove sono stati effettuati rilievi con termocoppia rigida e telecamera termica. Nel riquadro b, le aree colorate celeste, verde e rosa indicano i versanti rilevati con termocamera rispettivamente dalle stazioni Ps1, Ps4 e Ps5. Nel riquadro d, le aree in giallo, verde e rosa indicano i versanti rilevati con termocamera rispettivamente dalle stazioni Sf1, Sf2 e Sf3; Sf2a e Sf1b sono misure puntuali effettuate con termocamere e termocoppia; nel riquadro d1, le aree rosa e verde indicano i versanti rilevati con termocamera rispettivamente dalle stazioni S1 e S2.

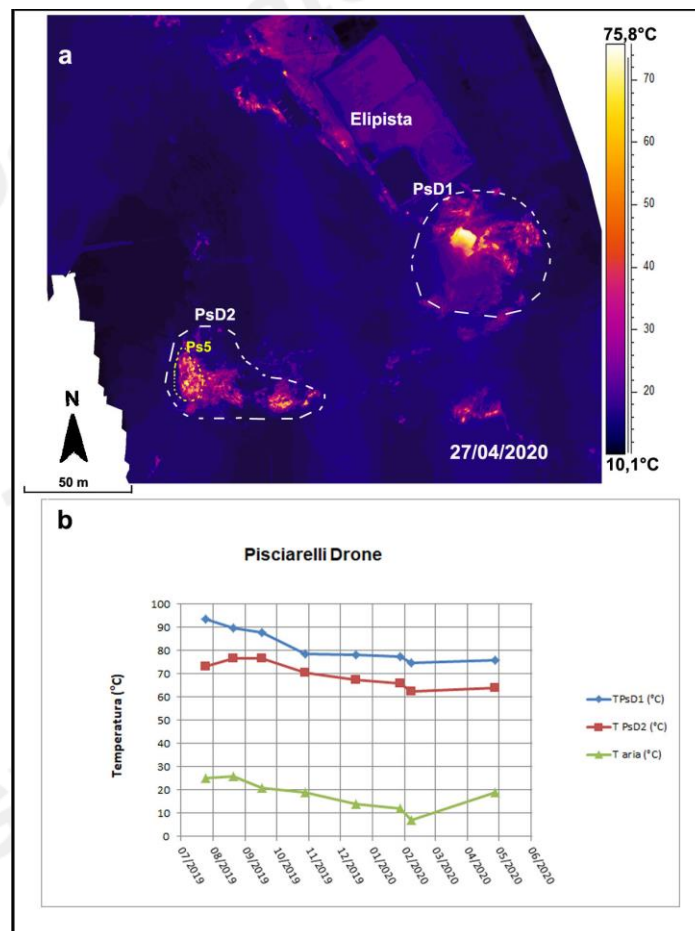
In generale, non si osservano significative variazioni di temperatura massima e modifiche nella distribuzione areale del campo fumarolico nei diversi punti di misura.

Di seguito si riportano le osservazioni e i dati di tre siti selezionati (Pisciarelli, Monte Nuovo e Agnano Terme).

### **Pisciarelli**

A Pisciarelli l'allargamento dell'area della polla, che già dal mese di agosto 2018 non aveva consentito di rilevare la temperatura al punto Ps3 (Fig. 3.2.1b), è aumentato tanto da impedire l'accesso a tutti i siti di misura (Fig. 3.2.1b). Inoltre, il rispetto delle procedure di sicurezza non consente di effettuare le misure strumentali nell'area più prossima alla polla. Pertanto dal mese di aprile 2019 i rilievi sono stati effettuati prevalentemente con l'ausilio di un drone ad eccezione di mesi in cui il drone è in manutenzione o, come il caso del mese di marzo 2020, quando per le condizioni meteo caratterizzate da forte vento al momento della misura non si è ritenuto prudente procedere con il volo. Nel mese di aprile 2020 sono stati effettuati rilievi termici da drone (Fig. 3.3.2). In generale, i valori di temperatura massima rilevati non presentano significative variazioni rispetto ai mesi precedenti. Il drone utilizzato è un esacottero equipaggiato da una termocamera FLIR VUEPRO ad alta risoluzione (640x512 pixel) e precisione  $\pm 5$  °C.

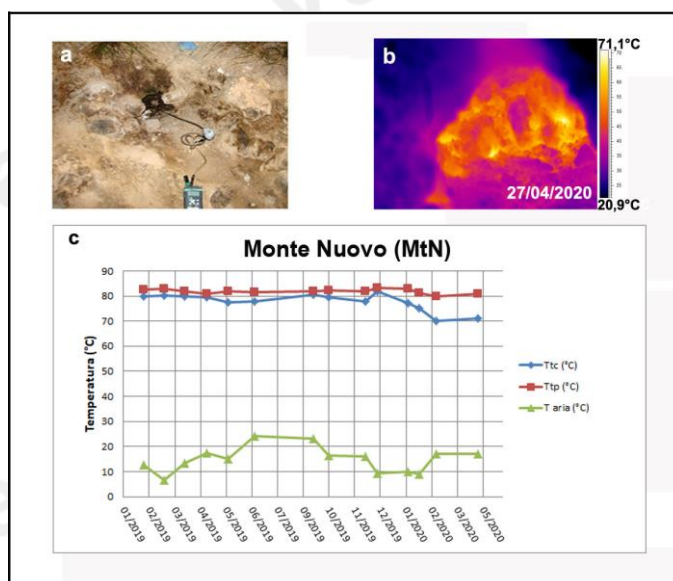
La fotocomposizione termica evidenzia due aree con maggiore anomalia termica, denominate PsD1 e PsD2 (Fig. 1.2). L'area PsD1 racchiude i versanti che in passato venivano rilevati con termocamera a mano dalle stazioni Ps1 e Ps4; l'area PsD2 include il versante rilevato in passato dalla stazione Ps5 (Fig.3.2.1d), in corrispondenza della telecamera termica fissa TIRNet dell'OV.



**Figura 3.2.2** – Fotocomposizione di immagini termiche rilevate da drone nel mese di febbraio 2020 (in alto). Valori massimi di temperatura (T), confrontati con la temperatura dell'aria misurata nel momento del rilievo termico, da lualio 2019 ad aprile 2020.

**Monte Nuovo**

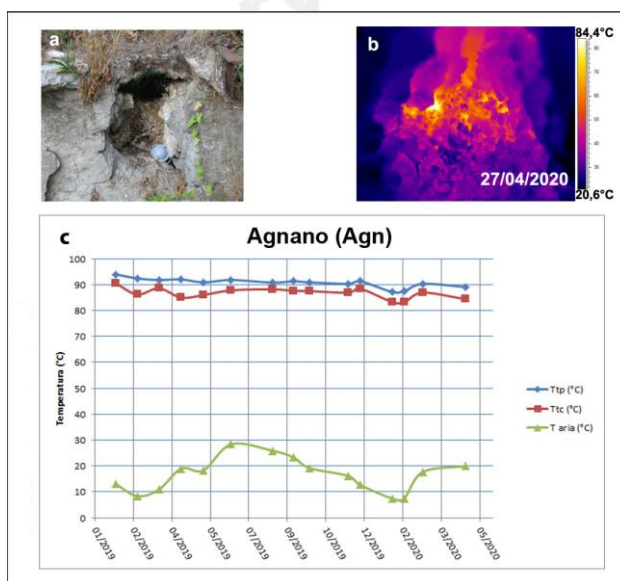
I valori di temperatura rilevati ad aprile 2020 con telecamera termica e termocoppia rigida, lungo il versante meridionale dell'edificio di Monte Nuovo (MtN, figura 3.2.1e), sono stabili nell'ultimo anno come nei precedenti, a meno di variazioni stagionali (Fig. 3.2.3).



**Figura 3.2.3** – Fumarola lungo il versante meridionale di Monte Nuovo. Immagini nel visibile (a) e termica (b) riprese dal punto MtN di figura 3.2.1e. Valori massimi di temperatura con termocamera (Ttc) e valori di temperatura dalla termocoppia (Ttp), confrontati con la temperatura dell'aria misurata nel momento del rilievo termico, da gennaio 2019 ad aprile 2020 (c).

**Agnano Terme**

I valori di temperatura rilevati ad aprile 2020 con telecamera termica e termocoppia rigida in corrispondenza di una fumarola non captata presso le “Terme di Agnano” (Agn, figura 3.2.1c), sono stabili nell'ultimo anno come nei precedenti a meno di variazioni stagionali (Fig. 3.2.4).

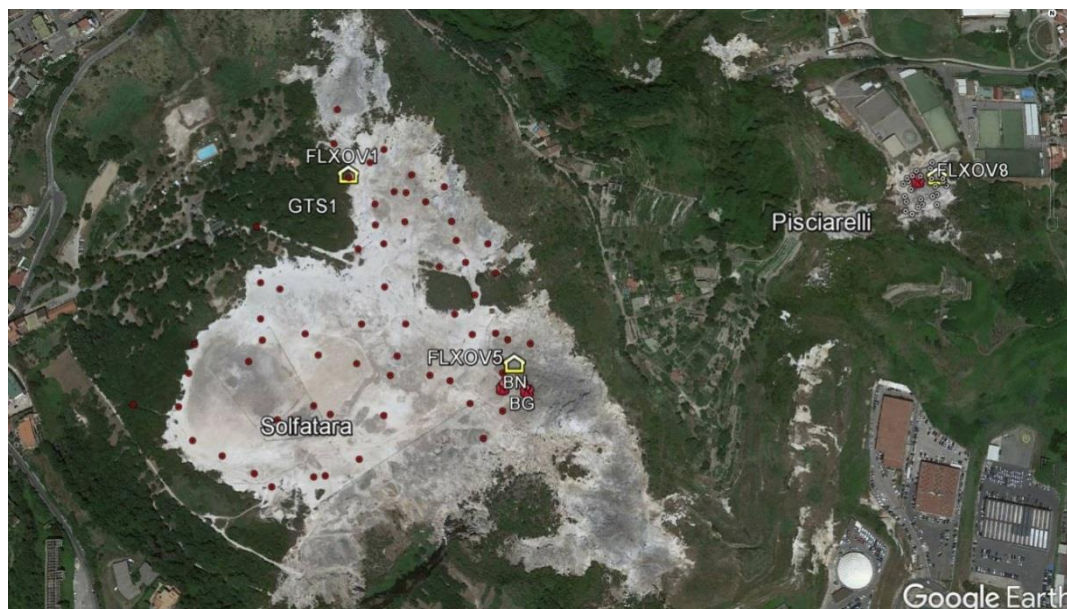


**Figura 3.2.4** – Fumarola all'interno dello stabilimento termale delle “Terme di Agnano”. Immagini nel visibile (a) e termica (b) riprese dal punto stazione Agn di figura 3.2.1c. Valori massimi di temperatura con termocamera (Ttc) e valori di temperatura dalla termocoppia (Ttp), confrontati con la temperatura dell'aria misurata nel momento del rilievo termico, da gennaio 2019 ad aprile 2020 (c).

#### 4. GEOCHIMICA DEI FLUIDI

L'attività di monitoraggio svolta nel mese di aprile 2020 ai Campi Flegrei (Fig. 4.1) ha riguardato:

- l'acquisizione in continuo del flusso di CO<sub>2</sub> dal suolo, della temperatura della fumarola BG e del gradiente termico nel cratere della Solfatara (stazioni FLXOV1 e FLXOV5);
- l'acquisizione in continuo di dati di flusso di CO<sub>2</sub> dal suolo e della temperatura della fumarola tramite la stazione multiparametrica FLXOV8 installata a Pisciarelli;
- il campionamento delle fumarole principali Bocca Grande e Bocca Nuova nel cratere della Solfatara e di una emissione fumarolica a Pisciarelli;
- misure di flusso di CO<sub>2</sub> dal suolo e temperatura del suolo su punti fissi selezionati nell'area della Solfatara e di Pisciarelli.



**Figura 4.1** - Ubicazione delle stazioni della rete geochimica ai Campi Flegrei e dei siti dove sono eseguite le attività di monitoraggio geochimico. In particolare sono riportate le quattro stazioni geochimiche ubicate in area Solfatara-Pisciarelli, le principali fumarole della Solfatara (BG e BN) e di Pisciarelli, sono inoltre riportati i punti fissi per la misura del flusso di CO<sub>2</sub> dal suolo e della temperatura del suolo in area Solfatara (simboli rossi) e in area Pisciarelli (simboli bianchi).

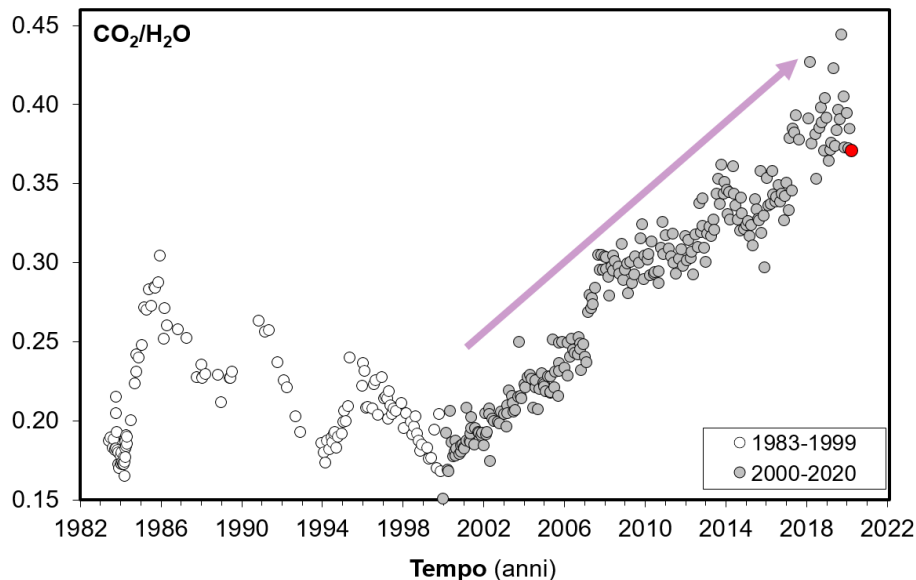
Di seguito sono riportate le osservazioni più rilevanti sui nuovi dati acquisiti.

Una dettagliata descrizione del modello geochimico interpretativo del sistema idrotermale della Solfatara, delle variazioni composizionali registrate e delle possibili interpretazioni sono riportate nei seguenti lavori scientifici: Caliro et al., (2007; 2014); Chiodini (2009); Chiodini et al., (2010; 2011; 2012; 2015a,b; 2016), ai quali si rimanda per approfondimento.

Le analisi di laboratorio dei campioni prelevati evidenziano il perdurare dei trend già identificati in precedenza (vedi Bollettini di Sorveglianza precedenti; Figg. 4.2 - 4.5).

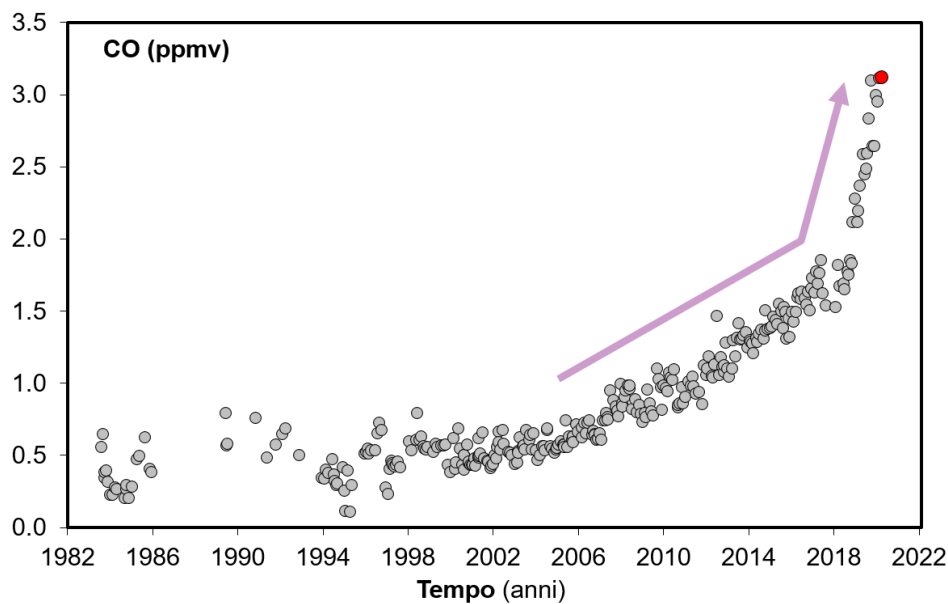
Il rapporto CO<sub>2</sub>/H<sub>2</sub>O delle fumarole (Fig. 4.2) nei campioni di aprile 2020 continua a mostrare valori elevati (~0.37 per la fumarola BG e ~0.39 per la fumarola BN) che in generale testimoniano una elevata frazione di gas magmatici presente nei fluidi fumarolici (Caliro et al., 2007; Chiodini et al., 2010). In particolare, l'interpretazione di queste variazioni risulta più complessa alla luce dei

recenti studi che mettono in evidenza come possibili processi di condensazione del vapore nel sistema idrotermale, in risposta ad un aumento del flusso dei fluidi magmatici (e della pressione) e allo stato termico del sistema, possano influenzare il rapporto  $\text{CO}_2/\text{H}_2\text{O}$  misurato alle fumarole (Chiodini et al., 2015a; 2016). Inoltre è possibile che una frazione della  $\text{CO}_2$  emessa dalle fumarole sia prodotta, in seguito all'aumento di temperatura del sistema, da reazioni che coinvolgono la calcite di origine idrotermale presente nel sistema (Chiodini et al., 2015b).

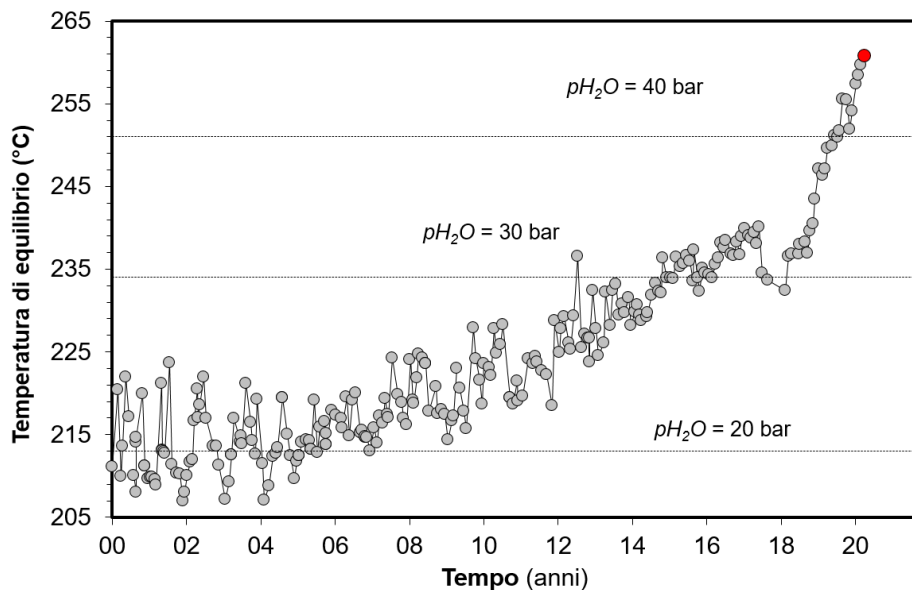


**Figura 4.2** - Cronogramma del rapporto  $\text{CO}_2/\text{H}_2\text{O}$  per la fumarola BG. In grigio sono riportati i dati a partire dal 2000, quando è iniziato un trend d'aumento del rapporto  $\text{CO}_2/\text{H}_2\text{O}$ , in generale, indicativo di una crescente frazione della componente magmatica nei fluidi fumarolici. Con il simbolo rosso è evidenziato il campione di aprile 2020.

L'analisi di geoindicatori di Temperatura e Pressione, basati sulle composizioni delle fumarole BG e BN, indica il progressivo riscaldamento delle parti più superficiali del sistema idrotermale della Solfatara. In particolare, le concentrazioni di monossido di carbonio (CO), disponibili alla Solfatara di Pozzuoli fin dalla crisi del 1983-84, a partire dagli inizi degli anni 2000 mostrano un evidente trend di crescita, tuttora in corso e particolarmente riconoscibile nei campioni degli ultimi mesi (fumarola BG, Fig. 4.3). Tale crescita è rilevante poiché il CO è fra le specie fumaroliche analizzate quella più sensibile alla temperatura. Assumendo come buffer delle condizioni redox del sistema idrotermale la funzione di D'Amore and Panichi (1980), che in generale ben descrive la  $f\text{O}_2$  in molti dei sistemi idrotermali del mondo, il trend del CO corrisponderebbe ad un aumento di temperatura di circa  $35\text{ }^\circ\text{C}$  fra gli inizi degli anni 2000 (T circa  $215\text{ }^\circ\text{C}$ ) a oggi (T circa  $250\text{ }^\circ\text{C}$ , Fig. 4.4). Tale processo di riscaldamento del sistema flegreo e le possibili cause sono trattate nei lavori scientifici di Chiodini et al. (2015a; 2016) a cui si rimanda per approfondimento.

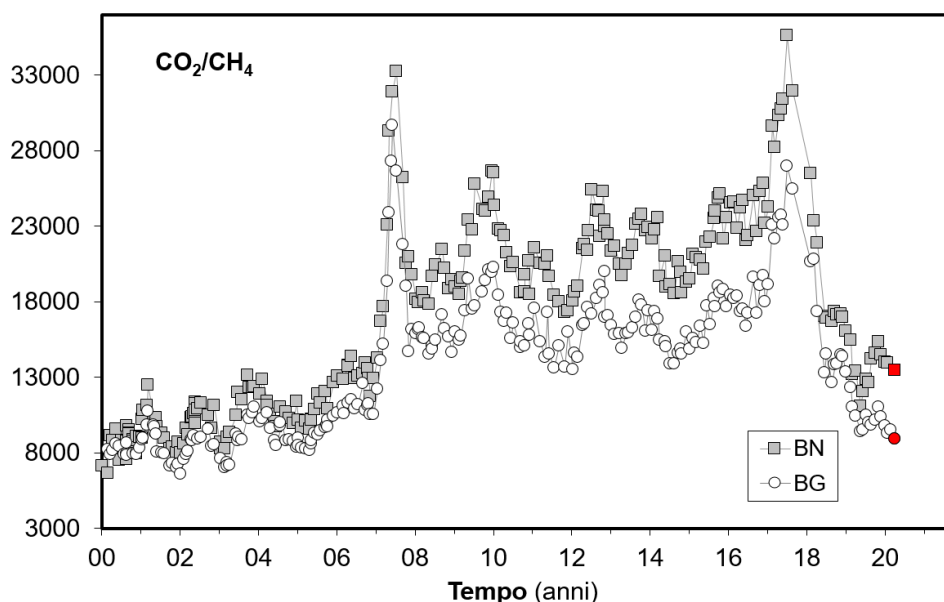


**Figura 4.3** – Variazioni della concentrazione di monossido di carbonio (CO) misurato alla fumarola BG a partire dal 1983. Con il simbolo rosso è evidenziato il campione di aprile 2020. In generale alti contenuti di CO caratterizzano sistemi vulcanici ad elevata temperatura mentre fumarole alimentate da sistemi idrotermali mostrano concentrazioni più basse, in tali sistemi un aumento delle concentrazioni di CO può riflettere un incremento delle condizioni di pressione e temperatura.



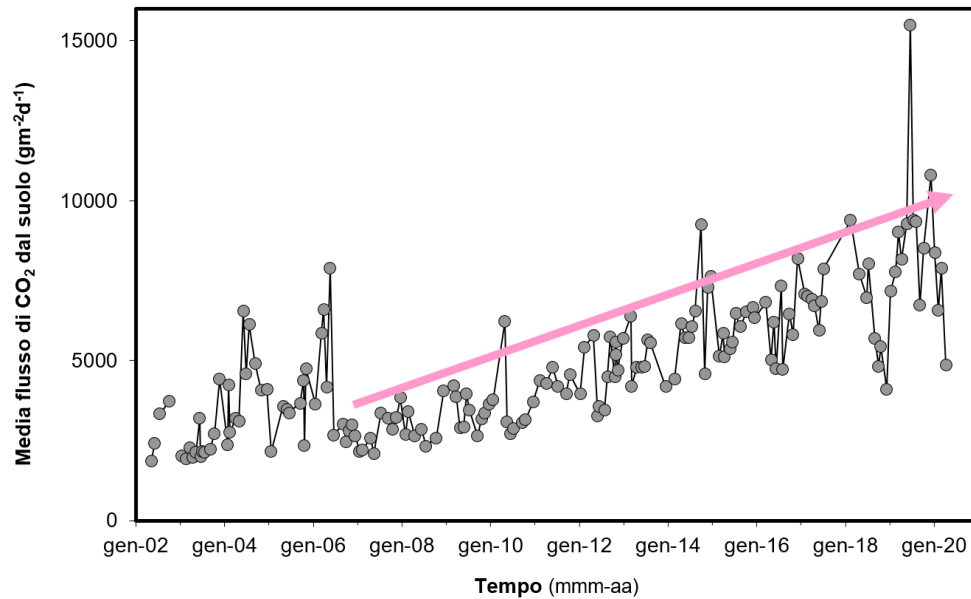
**Figura 4.4** – Cronogramma delle temperature di equilibrio per il sistema CO-CO<sub>2</sub>, stimate assumendo condizioni redox fissate dalla relazione di D'Amore and Panichi (1980). Tali temperature, rappresentative della parte più superficiale del sistema idrotermale (Caliro et al., 2007), mostrano un trend d'aumento a partire dai primi anni del 2000. Con il simbolo rosso è evidenziato il campione di aprile 2020 relativo alla fumarola BG.

Il cronogramma del rapporto  $\text{CO}_2/\text{CH}_4$  (Fig. 4.5) mostra picchi positivi, interpretati come dovuti all'arrivo di fluidi magmatici ossidanti, e a basso contenuto in  $\text{CH}_4$ , nel sistema idrotermale (Chiodini 2009; Chiodini et al., 2010; 2011; 2012). Nei campioni di aprile 2020, il rapporto  $\text{CO}_2/\text{CH}_4$  mostra valori in linea a quelli che hanno caratterizzato i periodi precedenti, indicativi della fine di un picco che ha raggiunto i valori massimi nel 2017. I vari picchi corrisponderebbero, quindi, a eventi di degassamento magmatico, occorsi in precedenza, e con conseguente immissione di fluidi magmatici nel sistema idrotermale che alimenta le fumarole della Solfatara. Per maggiori dettagli su tale processo si rimanda a specifici lavori scientifici (Chiodini et al., 2012; 2016). Inoltre, in Figura 4.5 è possibile riconoscere un trend d'aumento del rapporto a partire dal 2000, interrotto dalla fase discendente dell'ultimo picco che caratterizza gli ultimi periodi. La persistenza di questo basso valore del rapporto  $\text{CO}_2/\text{CH}_4$  (i.e. elevate concentrazioni di  $\text{CH}_4$ ) contemporaneamente all'aumento della concentrazione del monossido di carbonio e dell'idrogeno evidenzia una variazione del comportamento del sistema idrotermale in risposta ad una iniezione di fluidi magmatici, rispetto a quanto mostrato nei periodi precedenti. I fluidi emessi in questo periodo dal sistema idrotermale mostrano caratteristiche più riducenti; differenti processi possono essere considerati responsabili delle variazioni osservate, ma al momento non è possibile fornire un'interpretazione univoca.



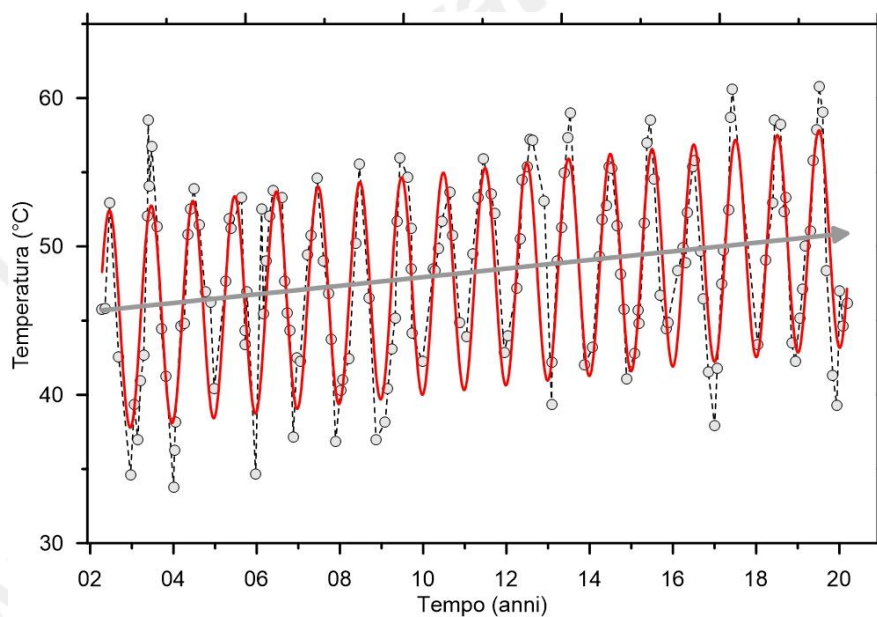
**Figura 4.5** – Variazioni del rapporto  $\text{CO}_2/\text{CH}_4$  per le fumarole BG e BN a partire dal 2000. I picchi nel rapporto, registrati in superficie con circa un anno di ritardo, evidenziano episodi di degassamento magmatico occorsi ai Campi Flegrei (Chiodini et al., 2012). Con i simboli rossi sono evidenziati i campioni di aprile 2020.

Il processo di riscaldamento e pressurizzazione del sistema idrotermale è supportato dalle misure periodiche, su punti fissi nel cratere della Solfatara, del flusso di  $\text{CO}_2$  dal suolo e della temperatura del suolo (Fig. 4.6) che mostrano trend di aumento pluriennali. In particolare, i valori di flusso di  $\text{CO}_2$  dal suolo relativi alle campagne mensili di misura mostrano un andamento caratterizzato da una periodicità annuale, rientrando in un trend di aumento dei valori a partire dal 2006 (Fig. 4.6).

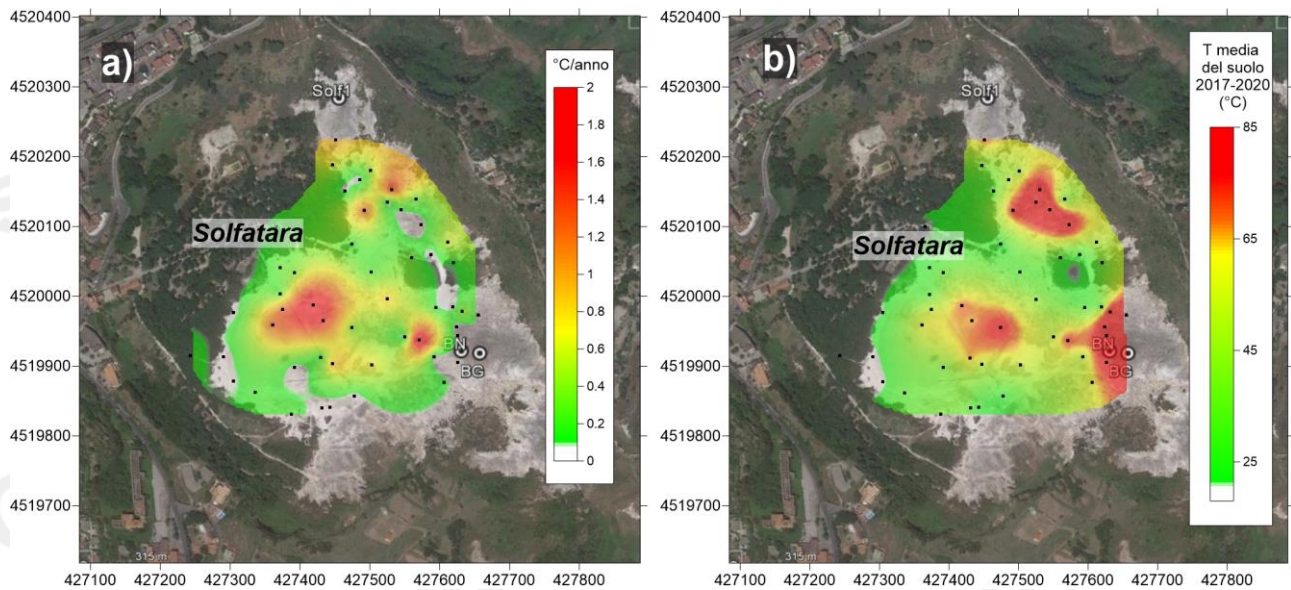


**Figura 4.6** – Cronogramma della media dei flussi di  $CO_2$  dal suolo misurati mensilmente su 61 punti fissi nell'area craterica della Solfatara.

La media delle temperature del suolo, misurate a 10 cm di profondità, mostra un chiaro andamento stagionale sovrainposto a un trend d'aumento (Fig. 4.7), con un incremento del valore medio delle temperature misurate di oltre 6 °C nel periodo 2002-2020. Nella mappa di Figura 4.8a è riportato l'incremento di temperatura espresso in °C/anno calcolato per ogni punto di misura a partire dal 2002. L'incremento di temperatura interessa diffusamente tutta l'area craterica con un massimo nella zona centrale; naturalmente, l'incremento di temperatura non interessa le aree delle fumarole e del bordo del cratere a NE, dove le temperature sono vicine al limite fisico di condensazione per i fluidi emessi dalla Solfatara (~95°C, Fig. 4.8b).

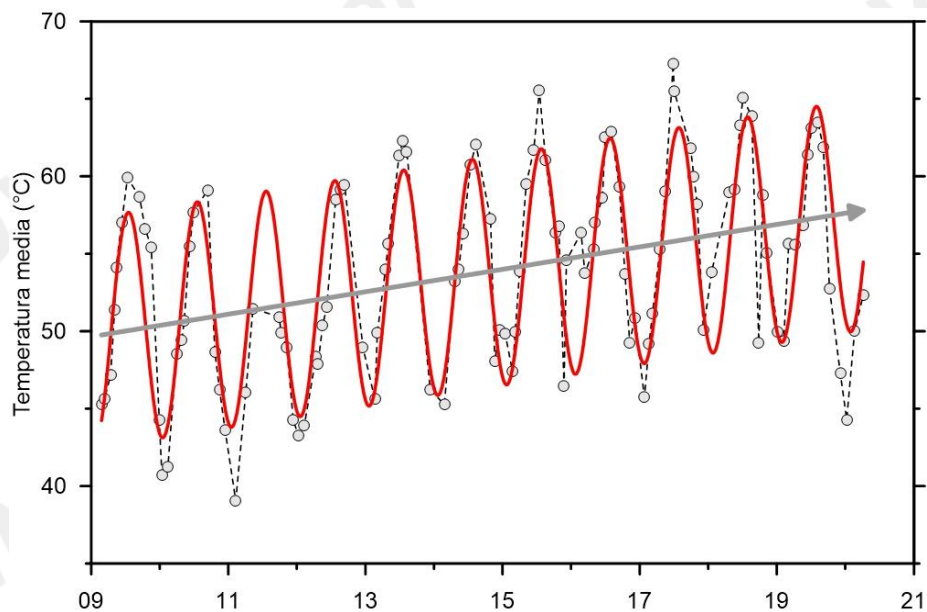


**Figura 4.7** – Cronogramma della media delle temperature del suolo (a 10 cm di profondità) misurate su 61 punti fissi nell'area craterica della Solfatara. Va evidenziato l'incremento del valore medio nel periodo 2002-2020 di oltre 6 °C.

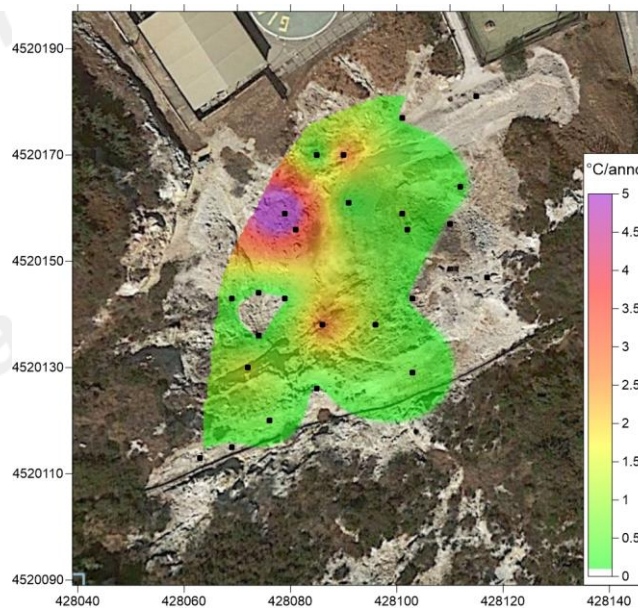


**Figura 4.8** – a) Mappa dell’incremento di temperatura in °C/anno calcolato per ogni punto misurato a partire dal 2002. L’incremento di temperatura interessa diffusamente tutta l’area craterica con un massimo nella zona centrale. L’incremento di temperatura non interessa le aree delle fumarole e del bordo del cratere a NE dove le temperature sono vicine al limite fisico di condensazione per i fluidi emessi dalla Solfatara (~95°C). b) mappa delle temperature dei punti misurati (media dal 2017 al 2020).

Tale processo di riscaldamento è evidenziato anche da misure analoghe, di flusso di CO<sub>2</sub> dal suolo e temperatura del suolo, eseguite periodicamente su 25 punti fissi nell’area di Pisciarelli. In Figura 4.9 è riportata la media delle temperature del suolo, misurate a 10 cm di profondità, che dal 2009 mostra un rilevante trend d’aumento, con un incremento del valore medio di circa 5 °C. Nella mappa di Figura 4.10, dove è riportata la distribuzione areale dell’incremento annuo di temperatura, si nota oltre ad un aumento diffuso delle temperature in tutta l’area indagata la presenza di zone a maggiore riscaldamento legate a processi di fumarolizzazione locale.



**Figura 4.9** – Cronogramma della media delle temperature del suolo (a 10 cm di profondità) misurate su 25 punti fissi nell’area di Pisciarelli dal 2009.



**Figura 4.10** – Mappa dell'incremento di temperatura in °C/anno calcolato per ognuno dei 25 punti misurati a partire dal 2009. L'incremento di temperatura interessa tutta l'area indagata con le zone di maggiore riscaldamento legate a processi di fumarolizzazione locale.

La stazione multiparametrica FLXOV5, installata nel cratere della Solfatara a pochi metri dalla fumarola BG, nel mese di marzo è stata riportata in laboratorio per un intervento di manutenzione che non poteva essere eseguito in situ, sarà riposizionata durante un prossimo accesso al cratere della Solfatara, che al momento è ancora soggetto a restrizioni.

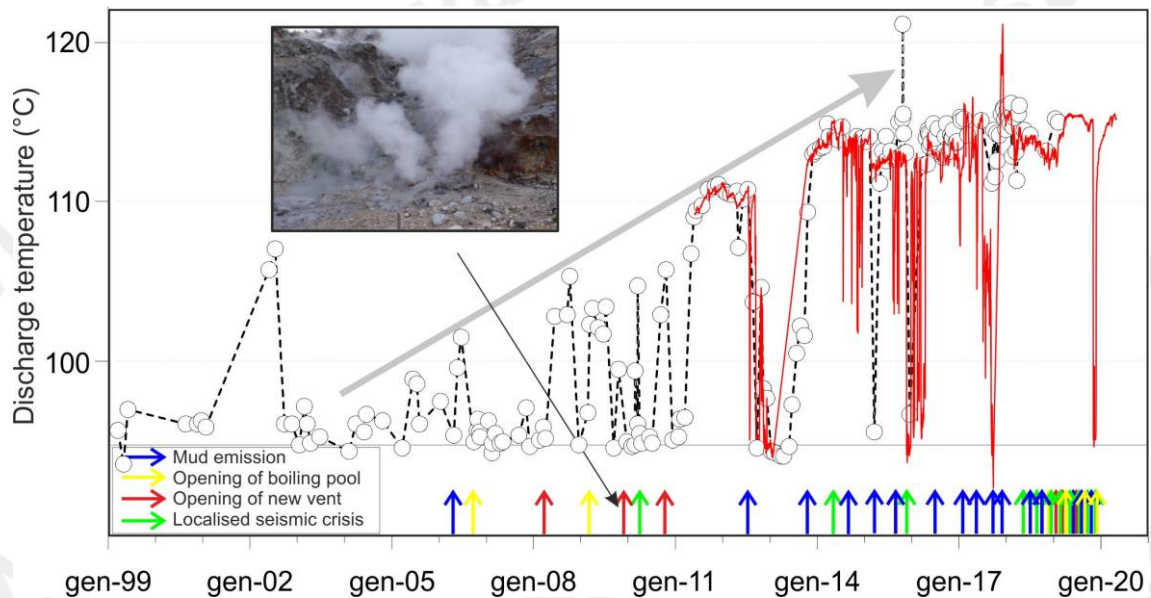
Il processo di riscaldamento e pressurizzazione della parte più superficiale del sistema idrotermale, iniziato a partire dal 2007 (Chiodini et al., 2011) e tuttora in corso, è presumibilmente la causa delle variazioni macroscopiche del processo di degassamento osservate nel sito di Pisciarelli (Fig 4.11) e che negli ultimi anni sono consistite nell'apertura di nuovi vent fumarolici e di polle bollenti, nell'emissione di fango, in attività sismica localizzata, nell'aumento della temperatura della fumarola principale (Fig 4.12) e nell'aumento dei flussi di CO<sub>2</sub> dal suolo misurati in continuo dalla stazione geochimica (Fig 4.13).

In particolare, il flusso di CO<sub>2</sub> dal suolo misurato dalla stazione FLXOV8, negli ultimi giorni del mese di aprile ha mostrato una diminuzione dei valori. Tale condizione già verificatasi in passato, escludendo problemi di carattere strumentale, potrebbe essere legata a variazioni locali del sito di emissione dove è installata la stazione.

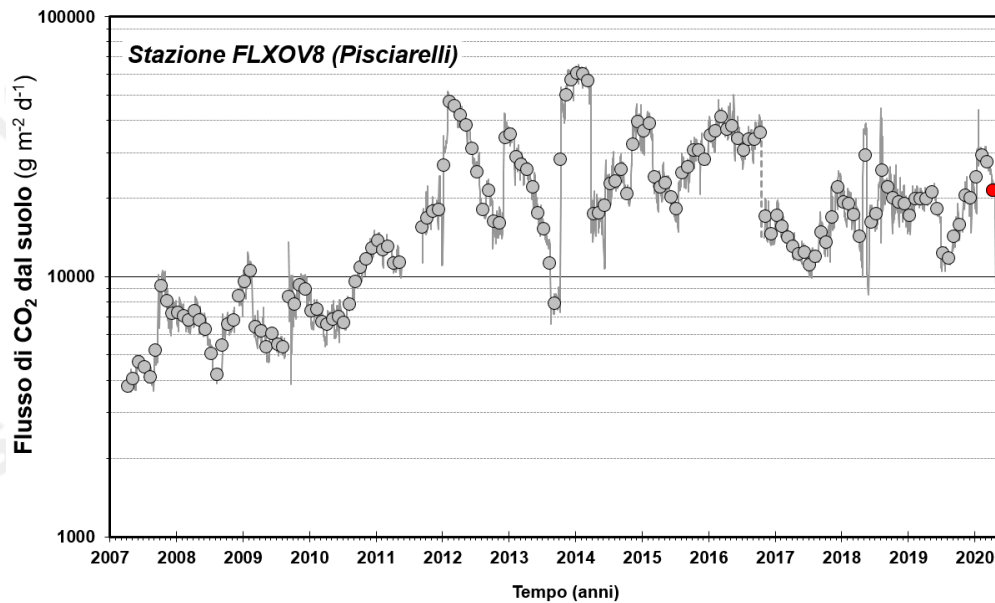
**PISCIARELLI**



**Figura 4.11** - Variazioni macroscopiche dell'area di emissione di Pisciarelli dal 2005.

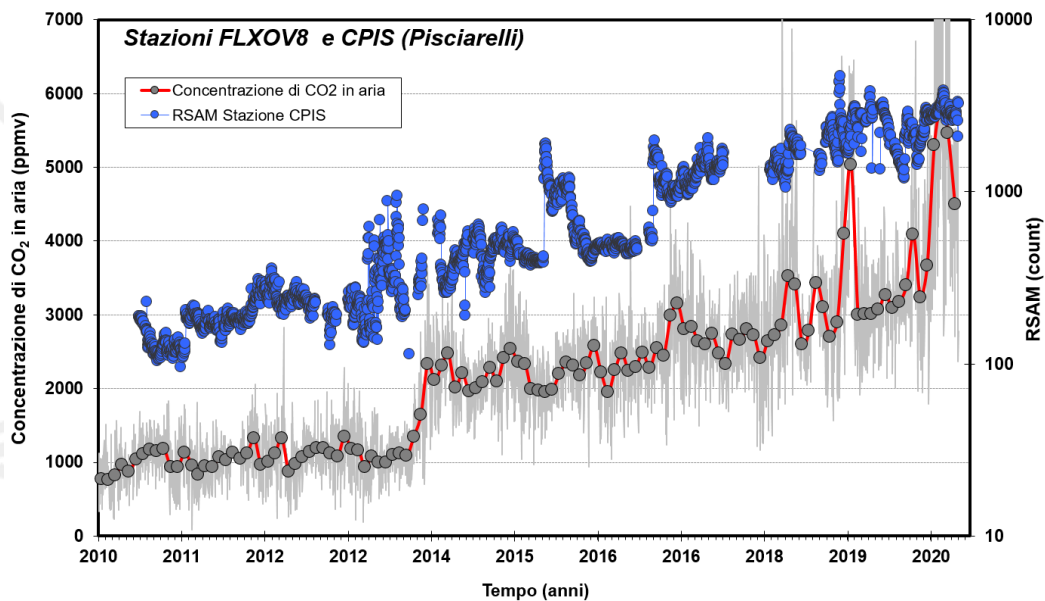


**Figura 4.12** - Cronogramma delle temperature (°C) della fumarola di Pisciarelli e dei maggiori eventi occorsi legati all'aumento dell'attività idrotermale (i cerchi si riferiscono a misure discrete riferite al punto di maggior flusso dei gas, la linea rossa si riferisce alle medie giornaliere delle misure in continuo della stazione FLXOV8). La temperatura di ~95°C rappresenta la temperatura di ebollizione per i fluidi fumarolici di Pisciarelli. Nella foto è riportata la nuova vigorosa fumarola sorta il 20 dicembre 2009.



**Figura 4.13** - Medie giornaliere (linea) e medie mensili (cerchi) dei flussi di  $\text{CO}_2$  misurati dalla stazione automatica a Pisciarelli. E' da evidenziare il continuo trend d'aumento nel tempo a partire dal 2007 del flusso  $\text{CO}_2$ . La media dei flussi relativa al mese di aprile 2020 è riportata con il simbolo rosso. L'intervento di riparazione della stazione, effettuato nel mese di novembre 2016, resosi necessario per ripristinare il sistema per la misura del flusso di  $\text{CO}_2$  dal suolo, ha comportato una modifica permanente del sito con valori misurati di flusso di  $\text{CO}_2$  più bassi, ma caratterizzati da un simile trend d'aumento.

La temperatura della fumarola principale di Pisciarelli registrata in continuo, dopo la diminuzione mostrata in concomitanza degli eventi piovosi del mese di dicembre 2019, è ritornata gradualmente ai valori caratteristici del periodo ( $\sim 115$  °C). Poiché la fumarola è un sistema naturale in continua evoluzione, con variazioni macroscopiche del sito di emissione, la temperatura registrata potrebbe non sempre coincidere con la temperatura massima. L'incremento del processo di degassamento nell'area è supportato da recenti misure del flusso di  $\text{CO}_2$  delle fumarole (Tamburello et al., 2019), effettuate nell'ambito di un progetto di potenziamento e di sviluppo di tecniche di monitoraggio dell'attività idrotermale dell'area di Pisciarelli. Inoltre, l'aumento dell'attività di degassamento nell'area di Pisciarelli è anche indicato dalla misura in continuo della concentrazione di  $\text{CO}_2$  in aria e dal tremore fumarolico (RSAM, Real-time Seismic Amplitude Measurement) generato dall'attività fumarolica misurato dalla stazione sismica CPIS (Fig. 4.14), parametri che risultano strettamente correlati all'intensità dell'attività idrotermale (Chiodini et al., 2017, Giudicepietro et al., 2019).



**Figura 4.14** - Cronogramma delle medie giornaliere (linea) e medie mensili (cerchi) della concentrazione di CO<sub>2</sub> registrata in aria con frequenza bioraria dalla stazione geochimica per la misura del flusso di CO<sub>2</sub> dal suolo di Pisciarelli (FLXOV8). Nel cronogramma è riportata anche la serie temporale dell'ampiezza del tremore fumarolico su base giornaliera registrata dalla stazione CPIS, installata a pochi metri dalla fumarola principale. Questi parametri risultano strettamente correlati tra di loro e all'intensità dell'attività idrotermale (Chiodini et al., 2017, Giudicepietro et al., 2019). E' da evidenziare il continuo trend d'aumento nel tempo delle concentrazioni di CO<sub>2</sub> in aria e dell'ampiezza del tremore fumarolico sin dal 2013.

La serie temporale di concentrazione di CO<sub>2</sub> in aria (registrata con frequenza bioraria dalla stazione geochimica FLXOV8) mostra un significativo aumento nel tempo delle concentrazioni, (come medie mensili) da ~1000 ppm nel 2012, fino a ~3000 ppm negli ultimi periodi, con un massimo di ~5000 ppm registrato a gennaio 2019. Analogamente, l'ampiezza del tremore fumarolico (RSAM) mostra a partire dal 2013 un rilevante aumento nel tempo.

Inoltre, va segnalato il recente aumento dei valori della concentrazione di CO<sub>2</sub> in aria e dei valori registrati di RSAM sin dal mese di dicembre 2019, valori che suggeriscono un significativo incremento del flusso di fluidi emessi e dell'attività idrotermale dell'area.

È da evidenziare negli ultimi mesi un continuo incremento dell'area di emissione e in particolare dell'estensione e modifica della superficie della polla di Pisciarelli. In considerazione di tali evidenti variazioni, in osservanza al principio di precauzione e al fine di operare in sicurezza nel sito di emissione sono al momento sospese le attività di campionamento dei fluidi della fumarola principale di Pisciarelli e di manutenzione del sensore di temperatura installato nella medesima fumarola.

## 5. QUADRO DI SINTESI DELLO STATO DEL VULCANO NEL MESE DI APRILE 2020 E VALUTAZIONI

---

1) SISMOLOGIA: Nell'area dei Campi Flegrei sono stati registrati 145 terremoti ( $M_{dmax}=3.3\pm 0.3$ ) di cui 73 localizzati. Il terremoto di  $M_d$  3.3 del 26/04 alle 02:59 UTC risulta, attualmente, l'evento di maggiore energia registrato a partire dalla ripresa di questa fase bradisismica iniziata nel 2005, ma è anche l'evento più energetico registrato dal 1985.

2) DEFORMAZIONI: L'analisi dei trend delle serie temporali GPS ha evidenziato che il valore medio della velocità di sollevamento nell'area di massima deformazione di circa 7mm/mese (8.5 cm/anno  $\pm$  0.5 cm), registrato a partire da luglio 2017, ha mostrato un incremento nelle settimane tra la fine di novembre e gli inizi di dicembre 2019, per poi ritornare ai consueti valori medi dopo lo sciame del 6 dicembre. Il sollevamento registrato alla stazione GPS di RITE è di circa 33 cm a partire da gennaio 2016.

L'orientazione dei vettori tilt per tutte e tre le stazioni in pozzo mostra un pattern coerente con la fase di sollevamento del suolo radiale centrato nell'area della città di Pozzuoli.

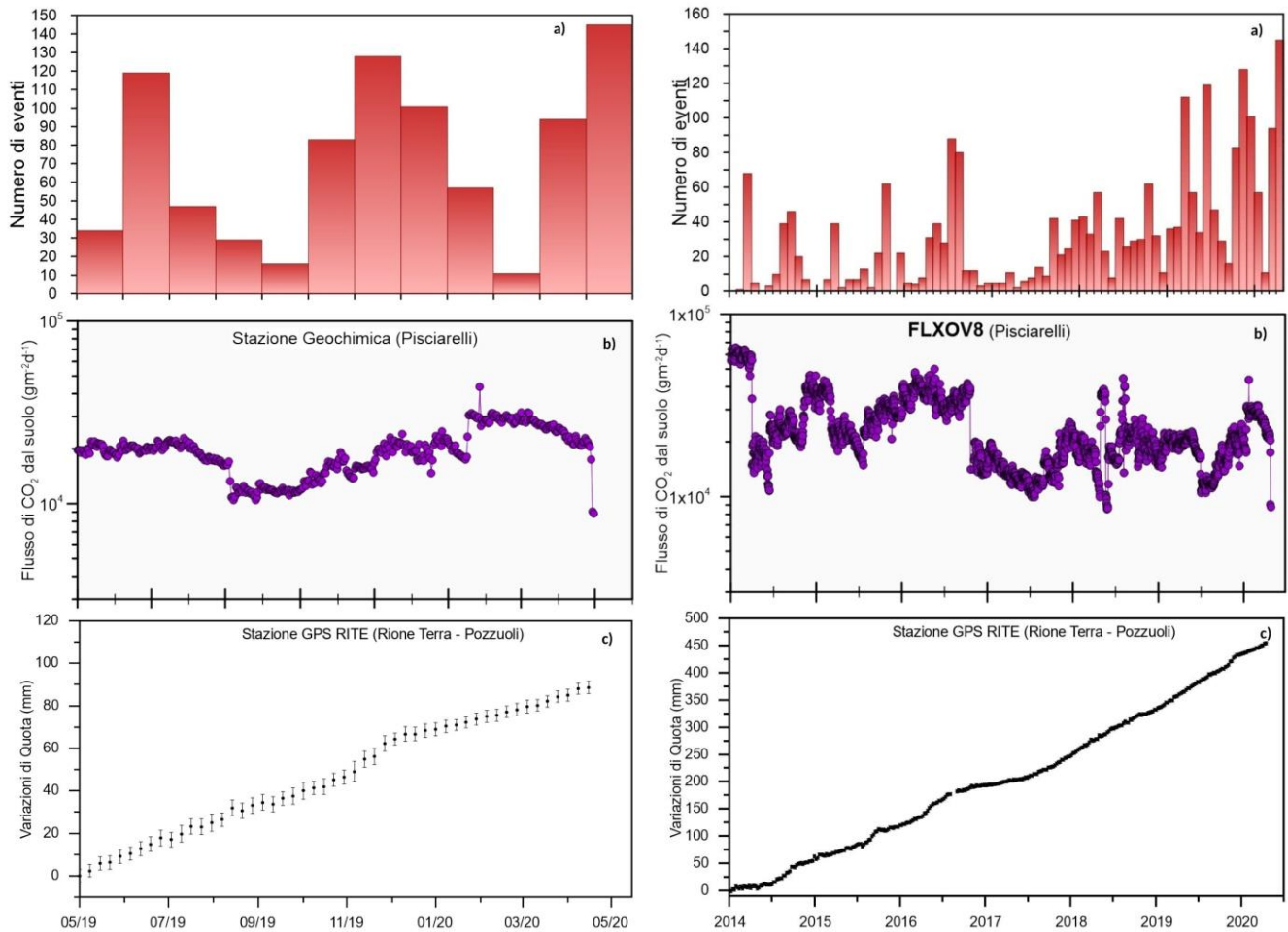
3) TERMOGRAFIA: L'analisi delle serie temporali delle aree campionate della Solfatara e Pisciarelli, seppur in presenza di ampie oscillazioni a breve periodo, mostra un andamento sostanzialmente stazionario con lieve tendenza alla diminuzione.

Le misure con termocamere mobili effettuate in diversi punti nell'area dei Campi Flegrei mostrano andamenti stabili.

4) GEOCHIMICA: La composizione delle fumarole e i parametri monitorati indicano il perdurare dei trend pluriennali di riscaldamento e pressurizzazione del sistema idrotermale. L'incremento del processo di degassamento nell'area è supportato da recenti misure del flusso di CO<sub>2</sub> delle fumarole e dal tremore sismico (RSAM, Real-time Seismic Amplitude Measurement) misurato dalla stazione CPIS e generato dall'attività fumarolica.

La temperatura della fumarola principale di Pisciarelli, dopo la diminuzione mostrata in concomitanza degli eventi piovosi del mese di dicembre 2019, è ritornata gradualmente ai valori caratteristici del periodo.

Nella Figura 5.1 sono rappresentati i parametri di monitoraggio più indicativi in un confronto temporale a breve e medio termine.



**Figura 5.1** – Frequenza di accadimento degli eventi sismici (a), variazioni del flusso di CO<sub>2</sub> alla stazione geochimica di Pisciarelli (b) e andamento delle deformazioni del suolo alla stazione GPS di RITE (c) negli ultimi dodici mesi (a sinistra) e dal 2014 (a destra).

Sulla base dell'attuale quadro dell'attività vulcanica sopra delineato, non si evidenziano elementi tali da suggerire significative evoluzioni a breve termine.

**N.B. Eventuali variazioni dei parametri monitorati possono comportare una diversa evoluzione degli scenari di pericolosità sopra descritti.**

Il monitoraggio dell'area flegrea permane al livello di "Attenzione".

#### Bibliografia

- Caliro S., Chiodini G., Moretti R., Avino R., Granieri D., Russo M. and Fiebig J. (2007) The origin of the fumaroles of La Solfatara (Campi Flegrei, South Italy). *Geochimica et Cosmochimica Acta* 71, 3040-3055. doi:10.1016/j.gca.2007.04.007.
- Caliro S., Chiodini G., and Paonita A. (2014) Geochemical evidences of magma dynamics at Campi Flegrei (Italy). *Geochim. Cosmochim. Acta* 132, 1-15. doi:10.1016/j.gca.2014.01.021.
- Chiodini, G. (2009), CO<sub>2</sub>/CH<sub>4</sub> ratio in fumaroles a powerful tool to detect magma degassing episodes at quiescent volcanoes., *Geophys. Res. Lett.*, doi: 10.1029/2008GL036347
- Chiodini, G., S. Caliro, C. Cardellini, D. Granieri, R. Avino, A. Baldini, M. Donnini and C. Minopoli (2010), Long-term variations of the Campi Flegrei, Italy, volcanic system as revealed by the monitoring of hydrothermal activity, *J. Geophys. Res.*, 115, B03205, doi:10.1029/2008JB006258.

- Chiodini, G., R. Avino, S. Caliro, C. Minopoli (2011) Temperature and pressure gas geoindicators at the Solfatara fumaroles (Campi Flegrei). *Annals Geophysics*, 54, 2. doi: 10.4401/ag-5002
- Chiodini G., Caliro S., De Martino P., Avino R. and Gherardi F. (2012). Early signals of new volcanic unrest at Campi Flegrei caldera? Insights from geochemical data and physical simulations. *Geology*, doi:10.1130/G33251.1
- Chiodini G., Vandemeulebrouck J., Caliro S, D'Auria L., De Martino P, Mangiacapra A., Petrillo Z. (2015a) Evidence of thermal driven processes triggering the 2005-2014 unrest at Campi Flegrei caldera. *Earth Planet. Sci. Lett.* 414, 58–67. doi:10.1016/j.epsl.2015.01.012
- Chiodini G., Pappalardo L., Aiuppa A. and Caliro S. (2015b) The geological CO<sub>2</sub> degassing history of a long-lived caldera. *Geology*. doi:10.1130/G36905.1
- Chiodini G., Paonita A., Aiuppa A., Costa A., Caliro S., De Martino P., Acocella V. and Vandemeulebrouck J. (2016) Magmas near the critical degassing pressure drive volcanic unrest towards a critical state. *Nat. Commun.* 7, 13712. doi: 10.1038/ncomms13712
- D'Amore F. and Panichi C. (1980) Evaluation of deep temperatures of hydrothermal systems by a new gas geothermometer. *Geochim. Cosmochim. Acta* 44, 549-556.
- Giudicepietro F., Chiodini G., Caliro S., De Cesare W., Esposito A. M., Galluzzo D., D. Lo Bascio, G. Macedonio, M. Orazi, P. Ricciolino, and J. Vandemeulebrouck. (2019). Insight into Campi Flegrei Caldera Unrest through seismic tremor measurements at Pisciarelli Fumarolic Field. *Geochemistry, Geophysics, Geosystems*, 20, 5544–5555. <https://doi.org/10.1029/2019GC008610>.
- Ricco, C., Aquino, I., Borgstrom, S.E. and Del Gaudio, C. (2013) 19 years of tilt data on Mt. Vesuvius: State of the art and future perspectives. *Ann. Geophys.* 2013, Vol. 56 n. 4.
- Ricco, C., Petrosino, S., Aquino, I., Del Gaudio, C. and Falanga, M. (2019) Some Investigations on a Possible Relationship between Ground Deformation and Seismic Activity at Campi Flegrei and Ischia Volcanic Areas (Southern Italy). *Geosciences*. 2019, Vol. 9 Pag. 1-24. ISSN:2076-3263.
- Silvestri M., Diaz J.A., Marotta E., Dalla Via G., Bellucci Sessa E., Caputo T., Buongiorno M.F., Sansivero F., Musacchio M., Belviso P., Carandente A., Peluso R., Nave R., Vilardo G., Doumaz F. and E. Corrales (2017). The 2016 field campaign of la Solfatara volcano: monitoring methods and instruments for volcanic surveillance. *Rapporti Tecnici INGV*, ISSN 2039-7941, Anno 2017, Numero 380.
- Tamburello G., S. Caliro, G. Chiodini, et al., Escalating CO<sub>2</sub> degassing at the Pisciarelli fumarolic system, and implications for the ongoing Campi Flegrei unrest, *Journal of Volcanology and Geothermal Research*, <https://doi.org/10.1016/j.jvolgeores.2019.07.005>

### **Responsabilità e proprietà dei dati**

*L'INGV, in ottemperanza a quanto disposto dall'Art.2 del D.L. 381/1999, svolge funzioni di sorveglianza sismica e vulcanica del territorio nazionale, provvedendo alla organizzazione della rete sismica nazionale integrata e al coordinamento delle reti simiche regionali e locali in regime di convenzione con il Dipartimento della Protezione Civile.*

*L'INGV concorre, nei limiti delle proprie competenze inerenti la valutazione della Pericolosità sismica e vulcanica nel territorio nazionale e secondo le modalità concordate dall'Accordo di programma decennale stipulato tra lo stesso INGV e il DPC in data 2 febbraio 2012 (Prot. INGV 2052 del 27/2/2012), alle attività previste nell'ambito del Sistema Nazionale di Protezione Civile. In particolare, questo documento, redatto in conformità all'Allegato A del suddetto Accordo Quadro, ha la finalità di informare il Dipartimento della Protezione Civile circa le osservazioni e i dati acquisiti dalle reti di monitoraggio gestite dall'INGV su fenomeni naturali di interesse per lo stesso Dipartimento.*

*L'INGV fornisce informazioni scientifiche utilizzando le migliori conoscenze scientifiche disponibili; tuttavia, in conseguenza della complessità dei fenomeni naturali in oggetto, nulla può essere imputato all'INGV circa l'eventuale incompletezza ed incertezza dei dati riportati e circa accadimenti futuri che differiscano da eventuali affermazioni a carattere previsionale presenti in questo documento. Tali affermazioni, infatti, sono per loro natura affette da intrinseca incertezza.*

*L'INGV non è responsabile dell'utilizzo, anche parziale, dei contenuti di questo documento da parte di terzi, e/o delle decisioni assunte dal Dipartimento della Protezione Civile, dagli organi di consulenza dello stesso Dipartimento, da altri Centri di Competenza, dai membri del Sistema Nazionale di Protezione Civile o da altre autorità preposte alla tutela del territorio e della popolazione, sulla base delle informazioni contenute in questo documento. L'INGV non è altresì responsabile di eventuali danni recati a terzi derivanti dalle stesse decisioni.*

*La proprietà dei dati contenuti in questo documento è dell'INGV. La diffusione anche parziale dei contenuti è consentita solo per fini di protezione civile ed in conformità a quanto specificatamente previsto dall'Accordo Quadro sopra citato tra INGV e Dipartimento della Protezione Civile.*